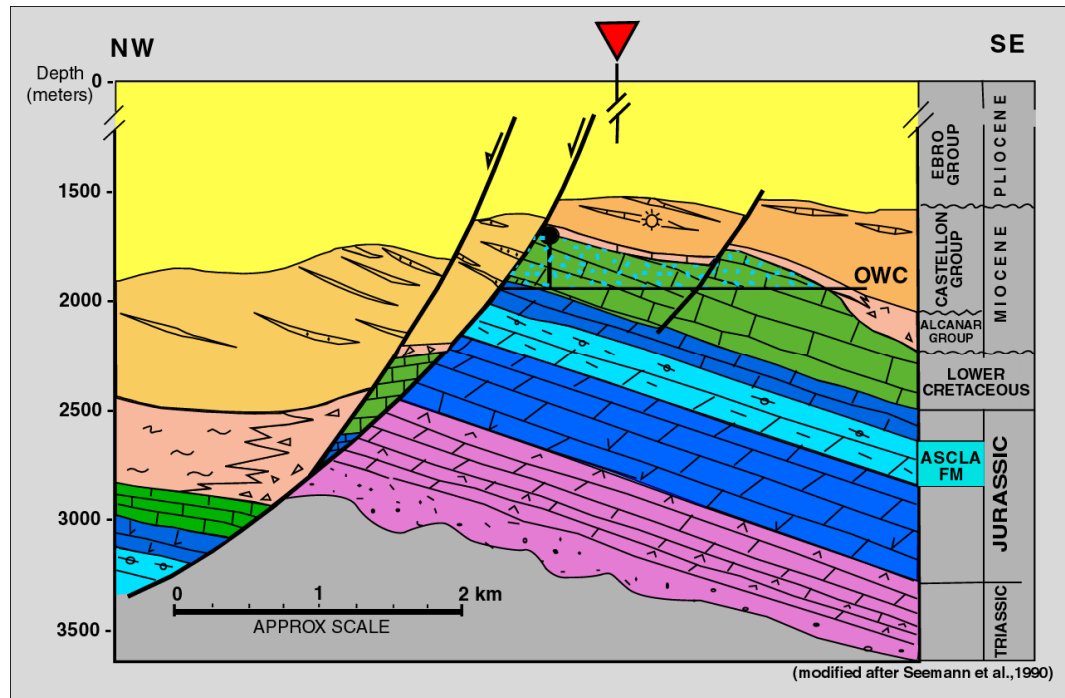


# Què ha passat al magatzem de Gas Castor?

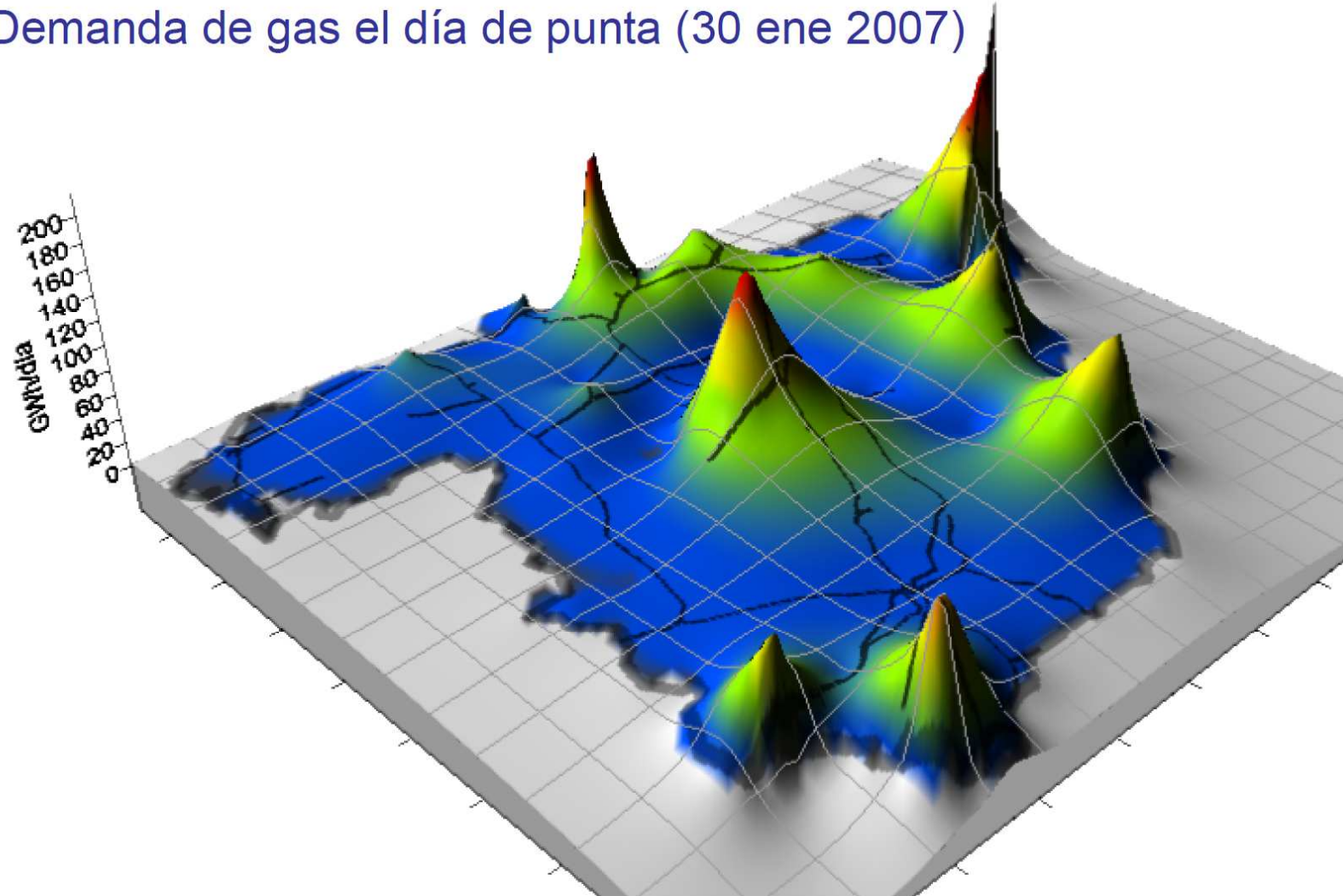


## Generalitats sobre l'antic jaciment de petroli de Amposta

Mariano Marzo

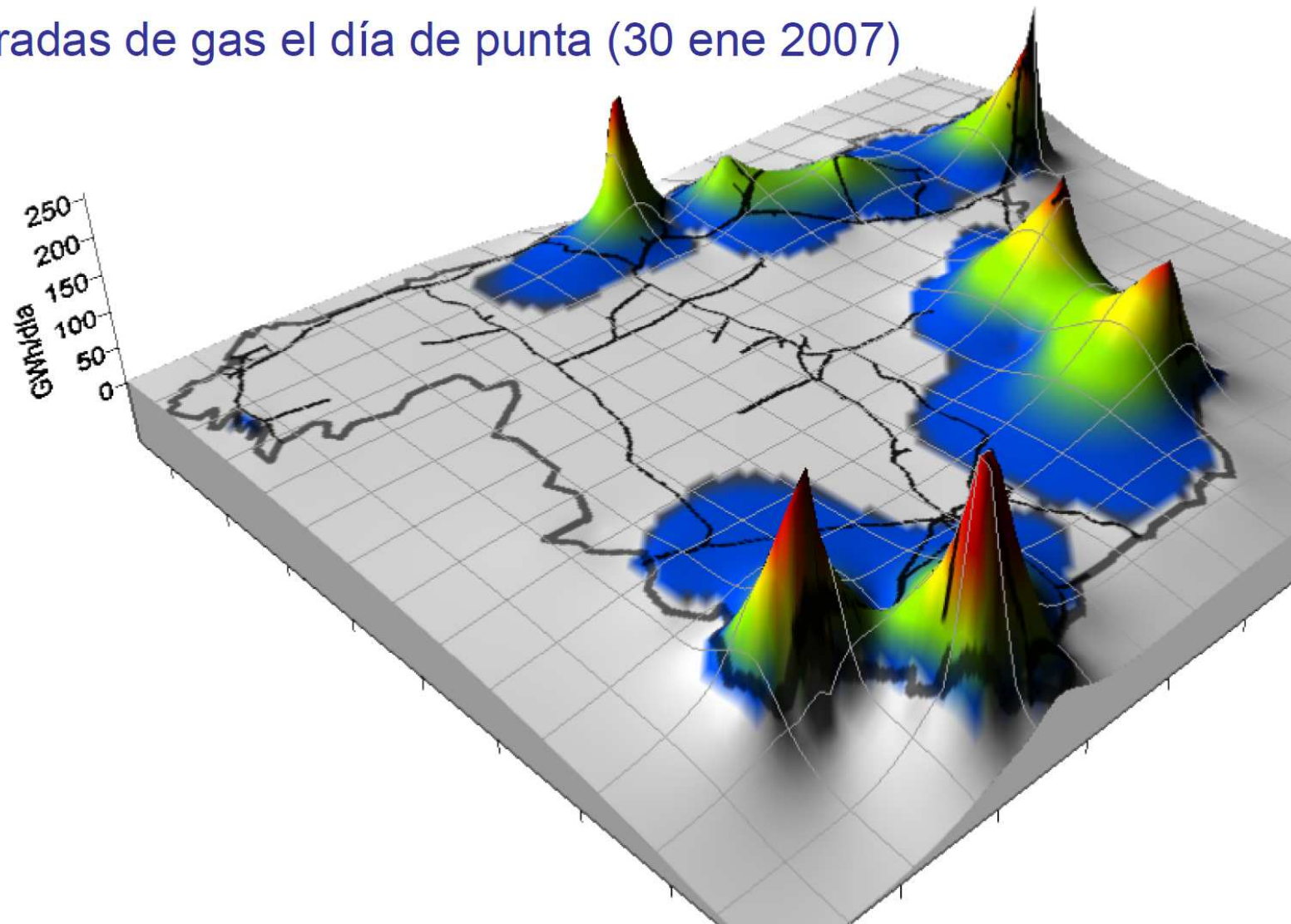
Col·legi Oficial d'Enginyers Industrials de Catalunya, Barcelona 31-10-2013

Demanda de gas el día de punta (30 ene 2007)



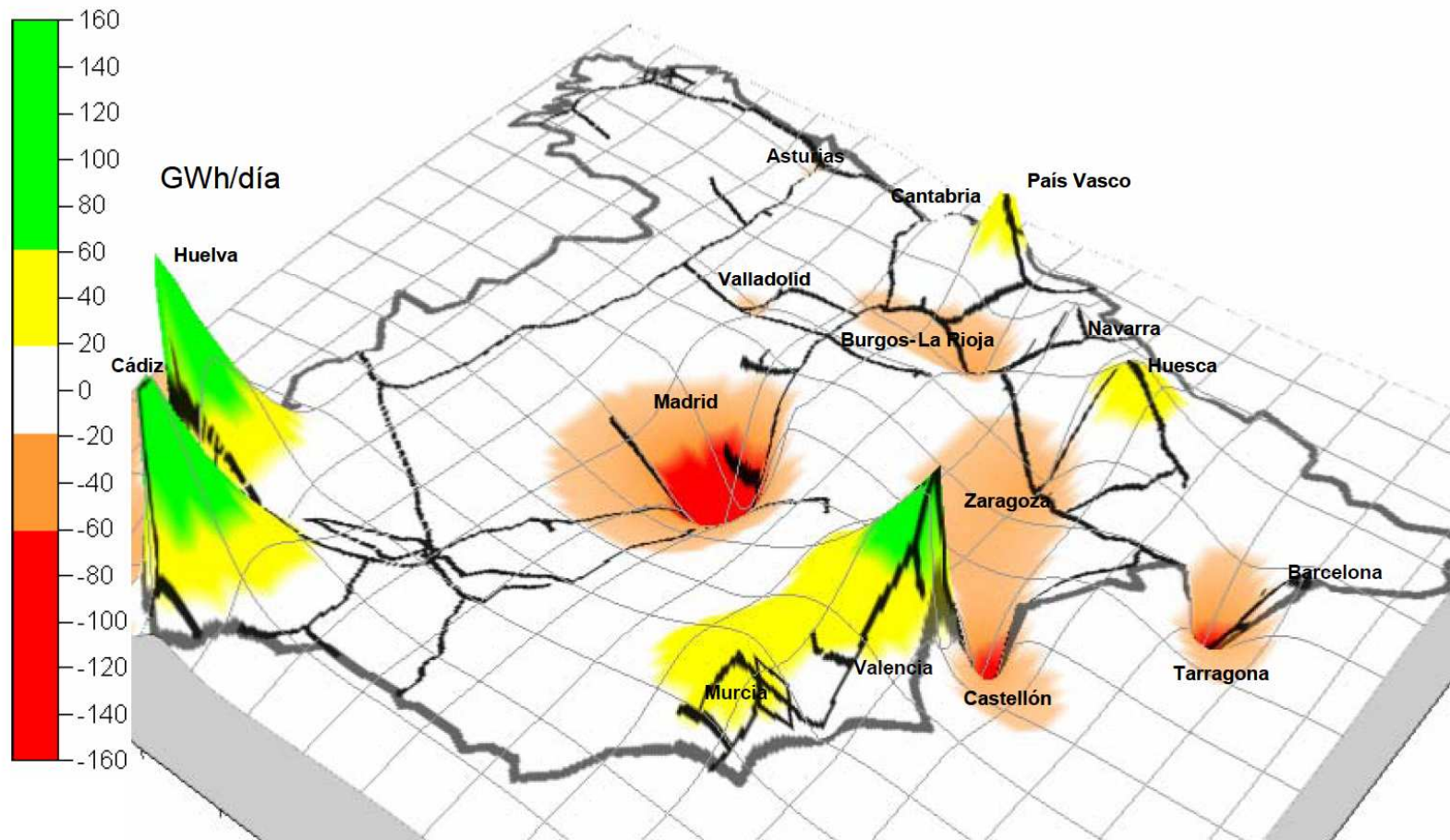
**Almacenes subterráneos de gas ¿para que?**

Entradas de gas el día de punta (30 ene 2007)



**Almacenes subterráneos de gas ¿para que?**

## Saldo entradas - salidas de gas el día de punta (30 ene 2007)

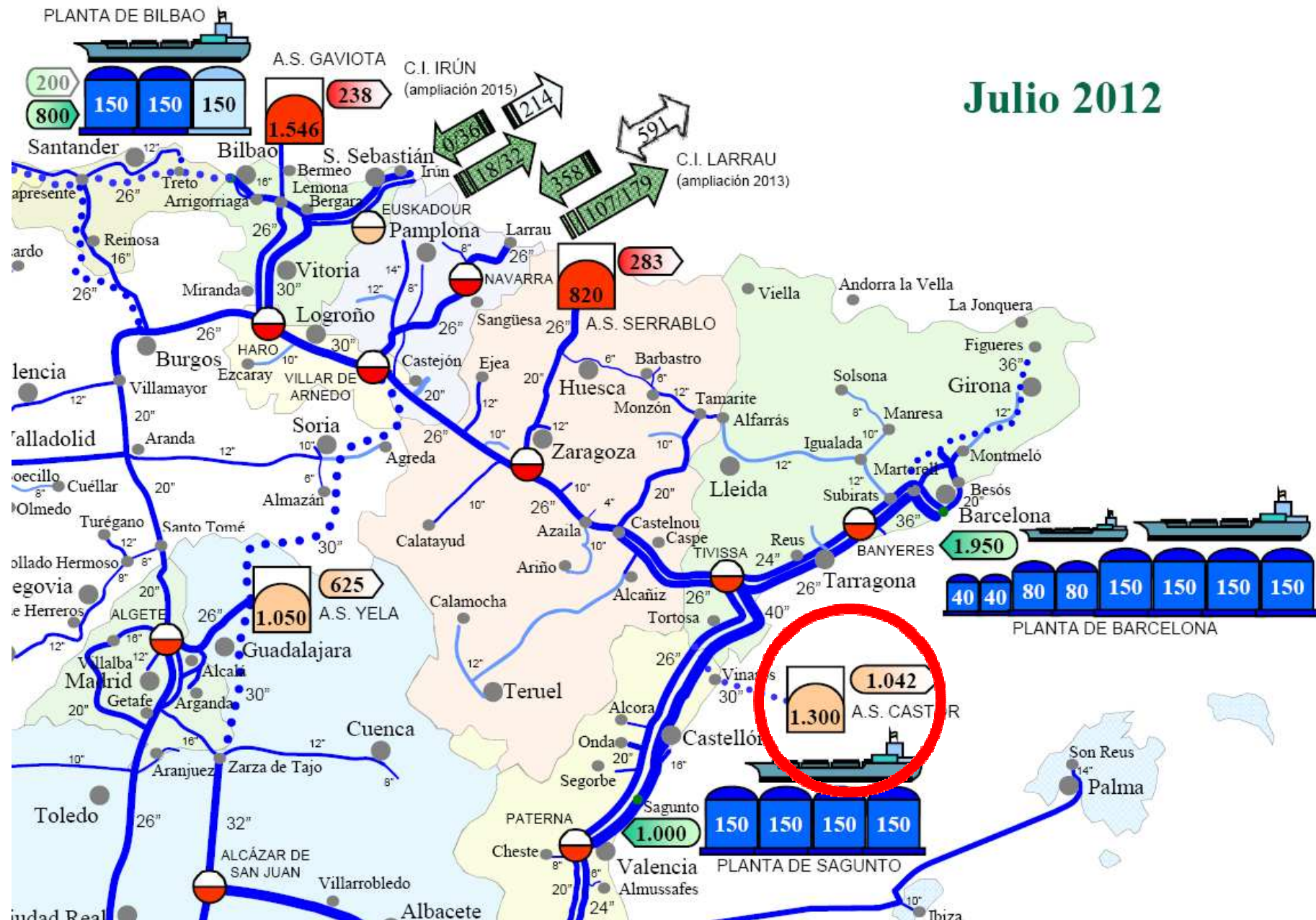


**Almacenes subterráneos de gas ¿para qué?  
una importante herramienta de gestión logística**

Julio 2012



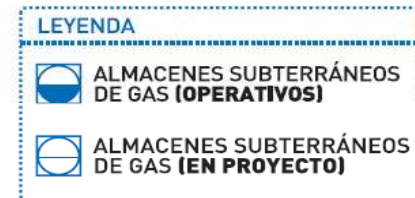
# Julio 2012

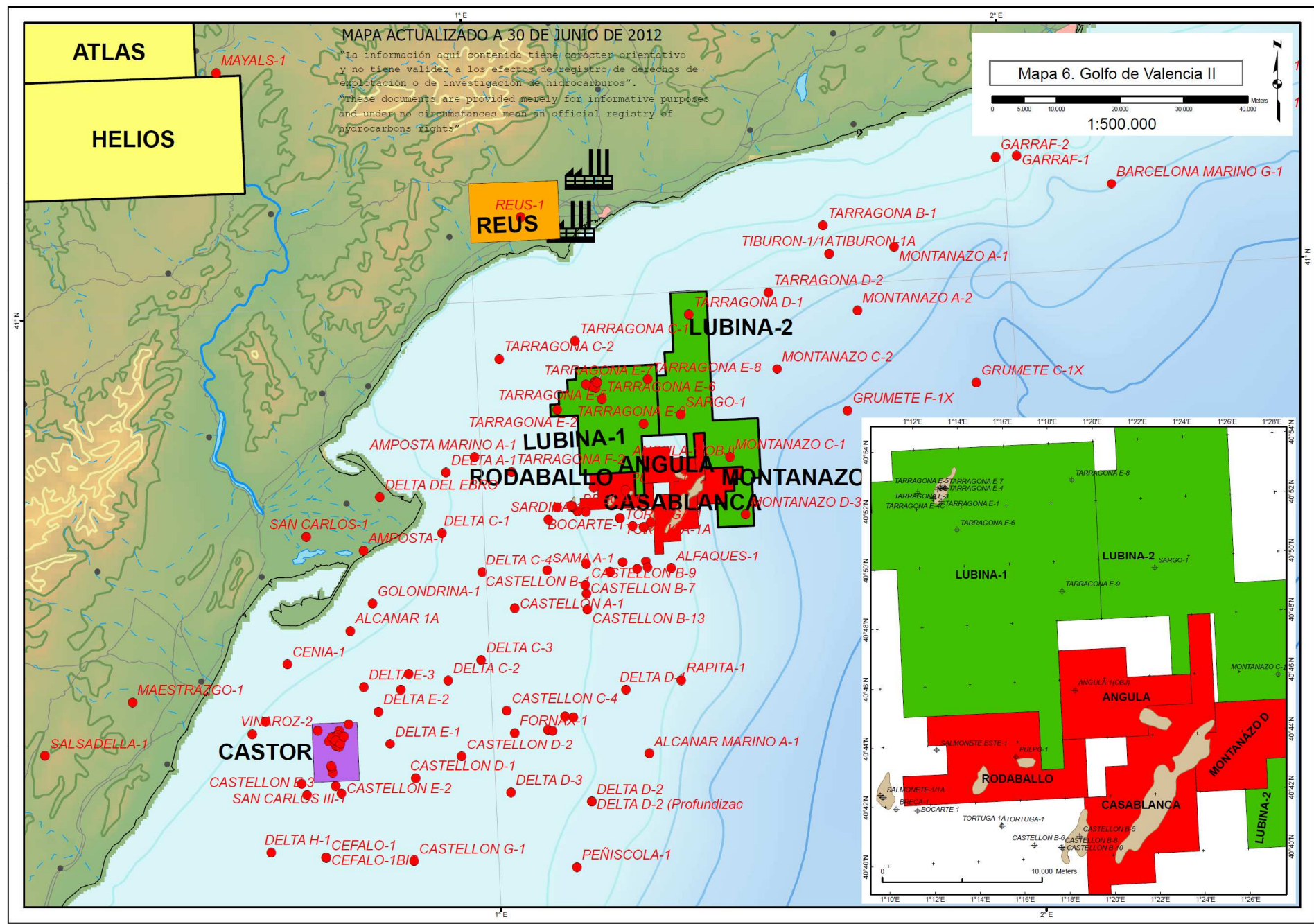


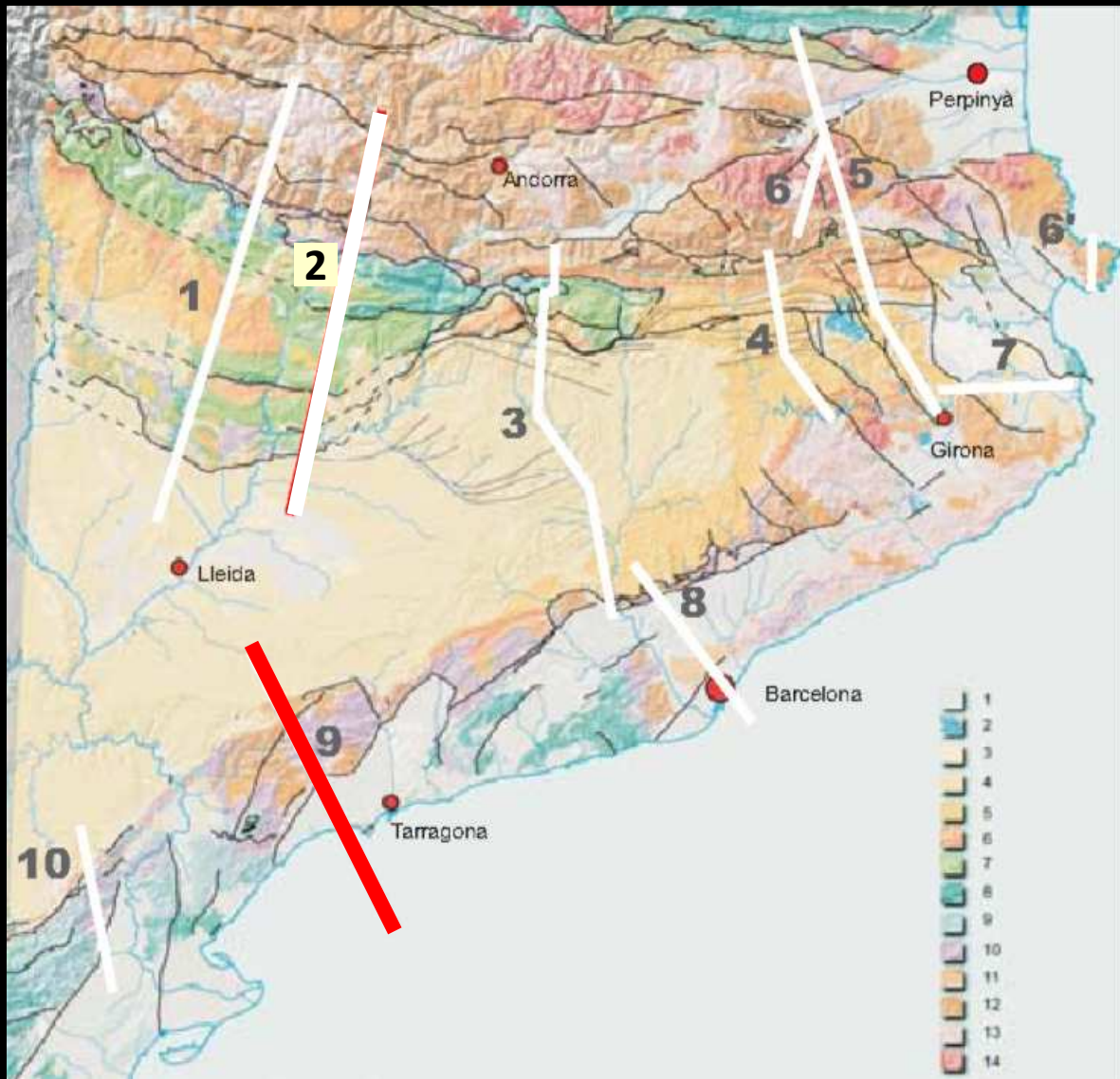
## Almacenes de gas en Europa

Según Cedigaz, a finales de 2005, la capacidad de almacenamiento subterráneo de gas en Europa era de 64.300 millones de metros cúbicos, con Alemania, Italia y Francia totalizando el 77% de dicho volumen. Estos tres países dependen de las importaciones.

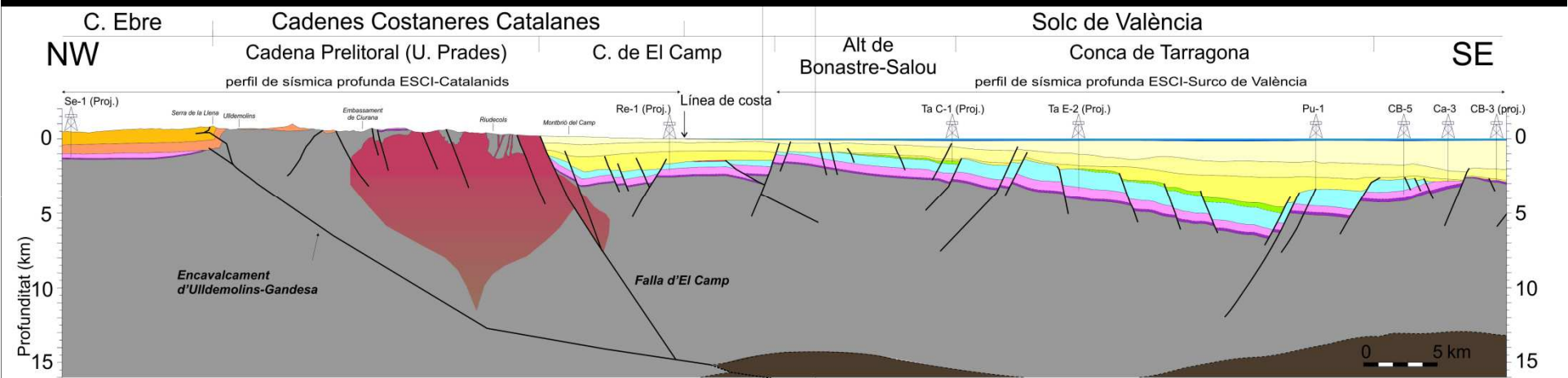
El porcentaje correspondiente al Reino Unido y a los Países Bajos es mucho menor (7,8% y 5,6%, respectivamente) pero estos países son, o han sido, exportadores netos. Curiosamente, España, que depende totalmente de las importaciones tiene una capacidad de almacenamiento subterráneo inferior a la de estos dos últimos países







## Corte nº 9



### Sediments sin-extensius

- Pliocè-Holocè
- Miocè mig-superior
- Oligocè sup.-Miocè inf.

### Sediments sin-compressius

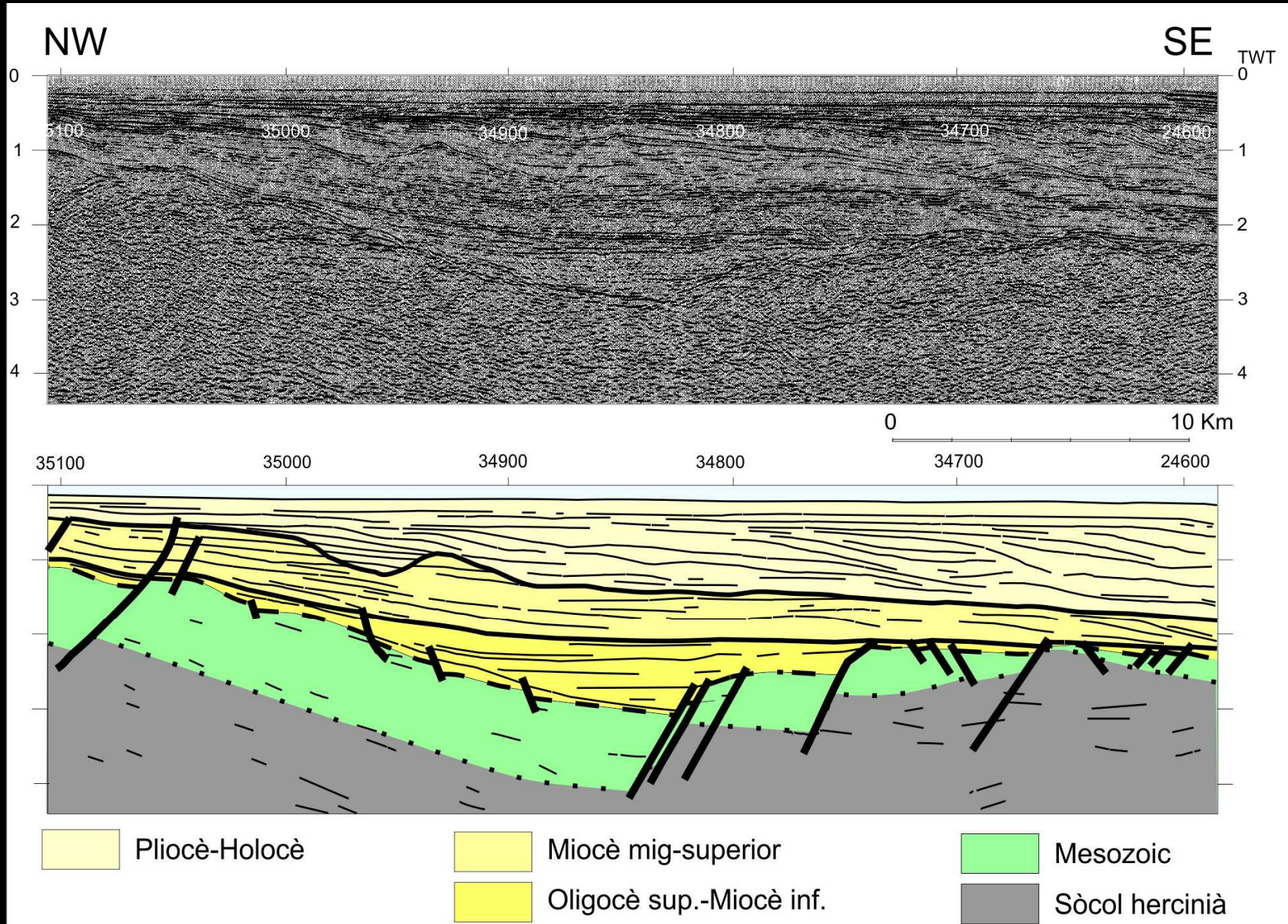
- Eocè superior-Oligocè
- Paleocè-Eocè inferior

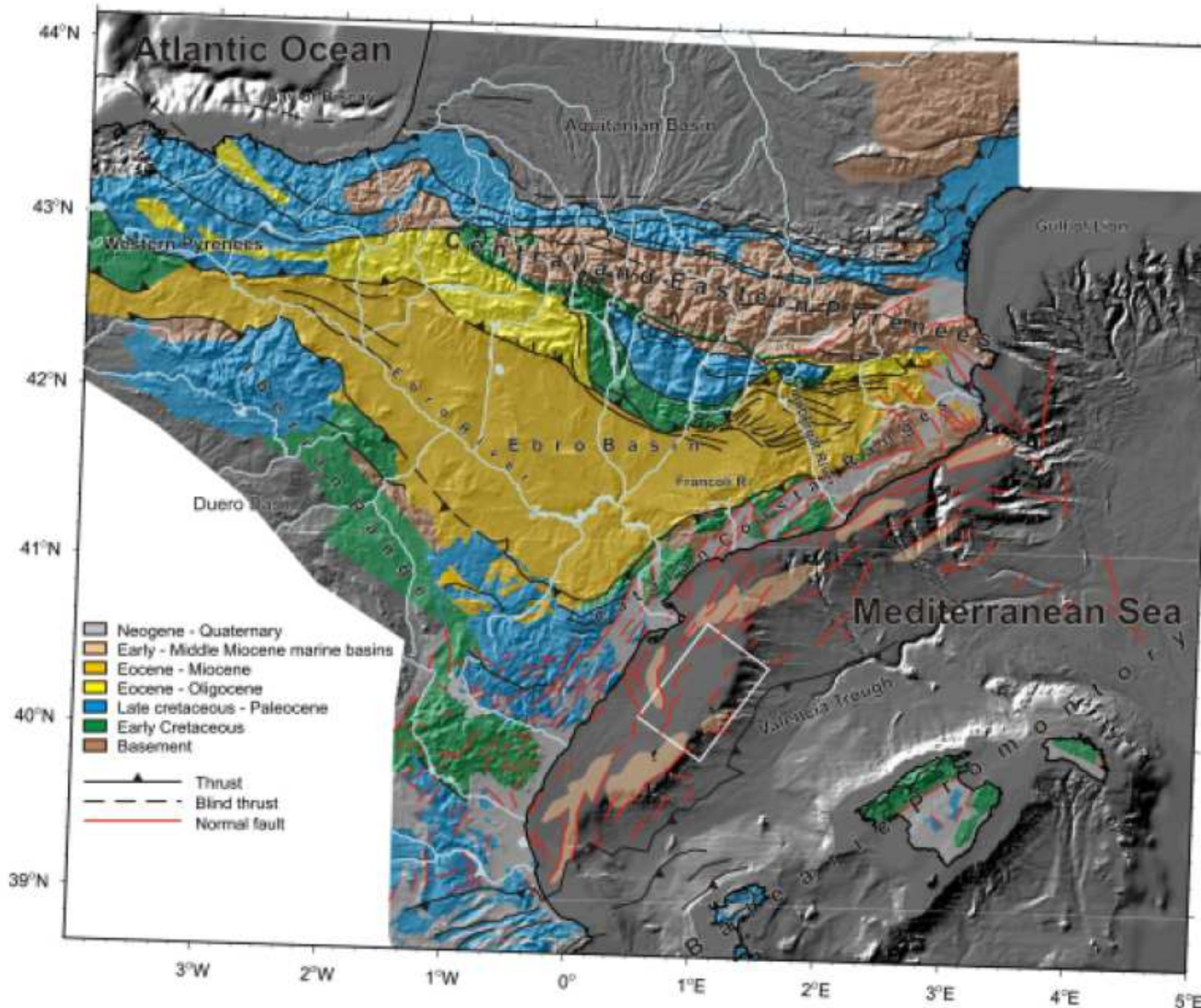
### Cobertura mesozoica

- Cretaci
- Juràssic
- Triàsic mig-superior
- Triàsic inferior

### Basament hercinià

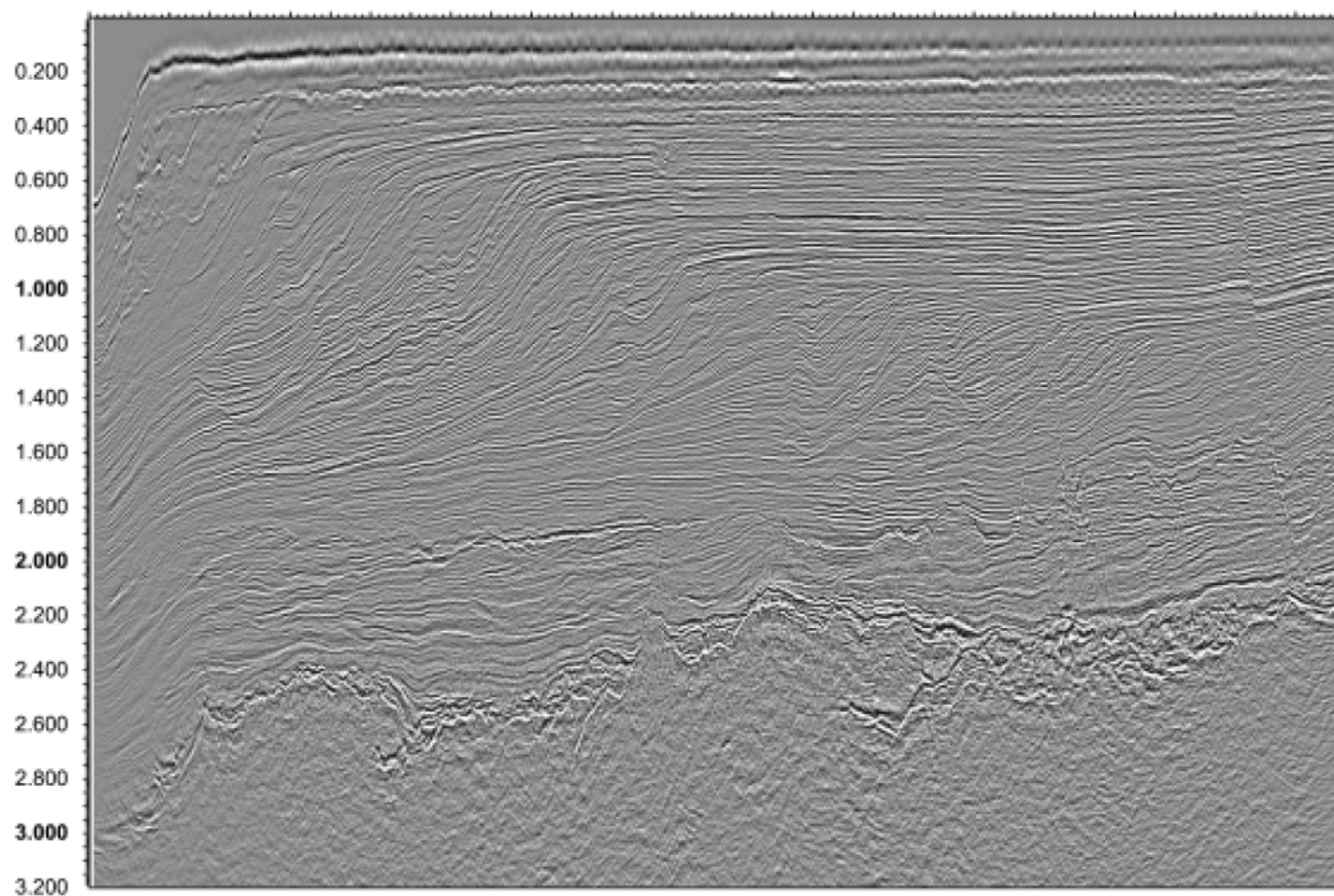
- Granits tardihercinians
- Sòcol hercinià (escorça superior)
- Sòcol hercinià (escorça inferior)
- Mar

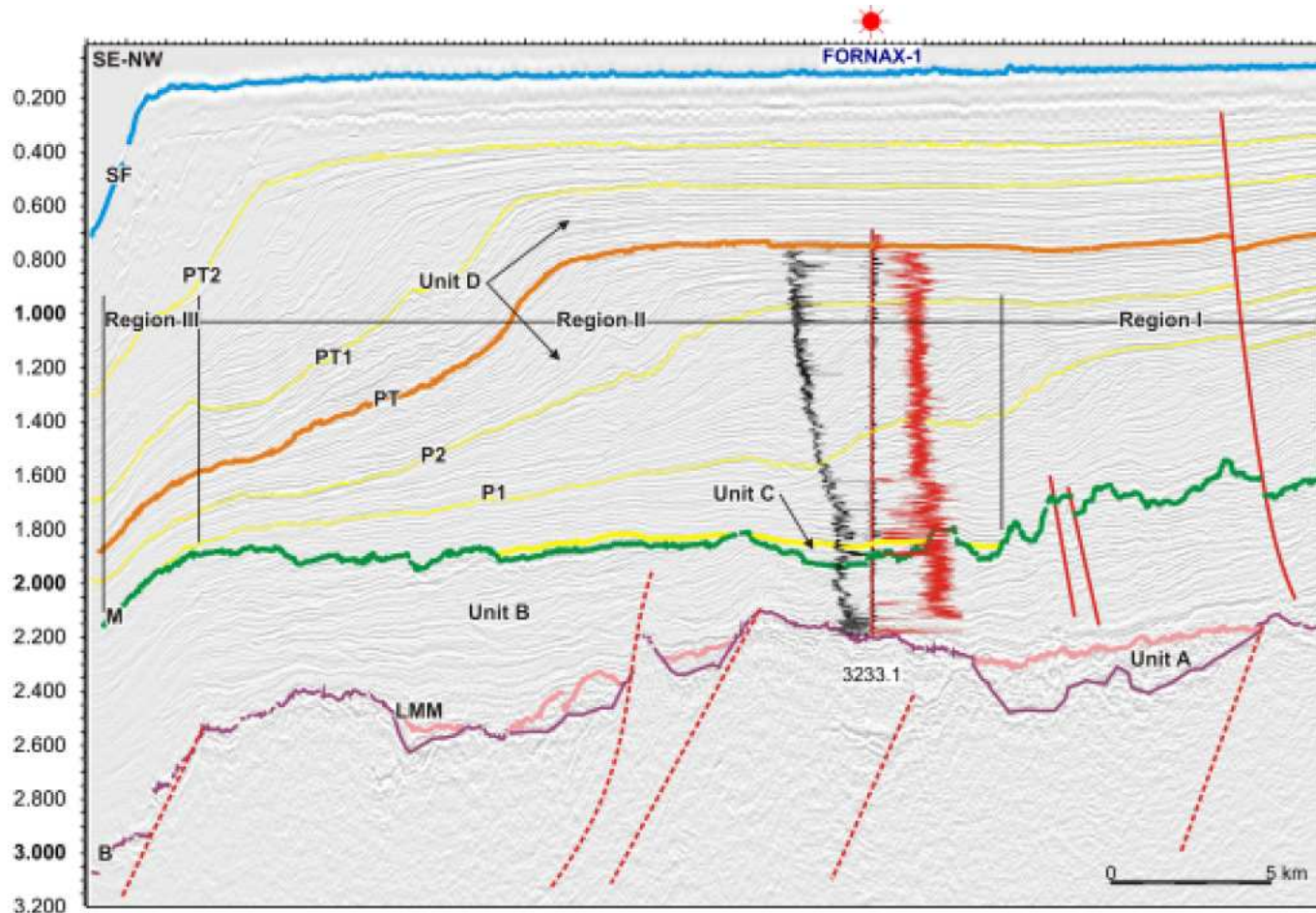


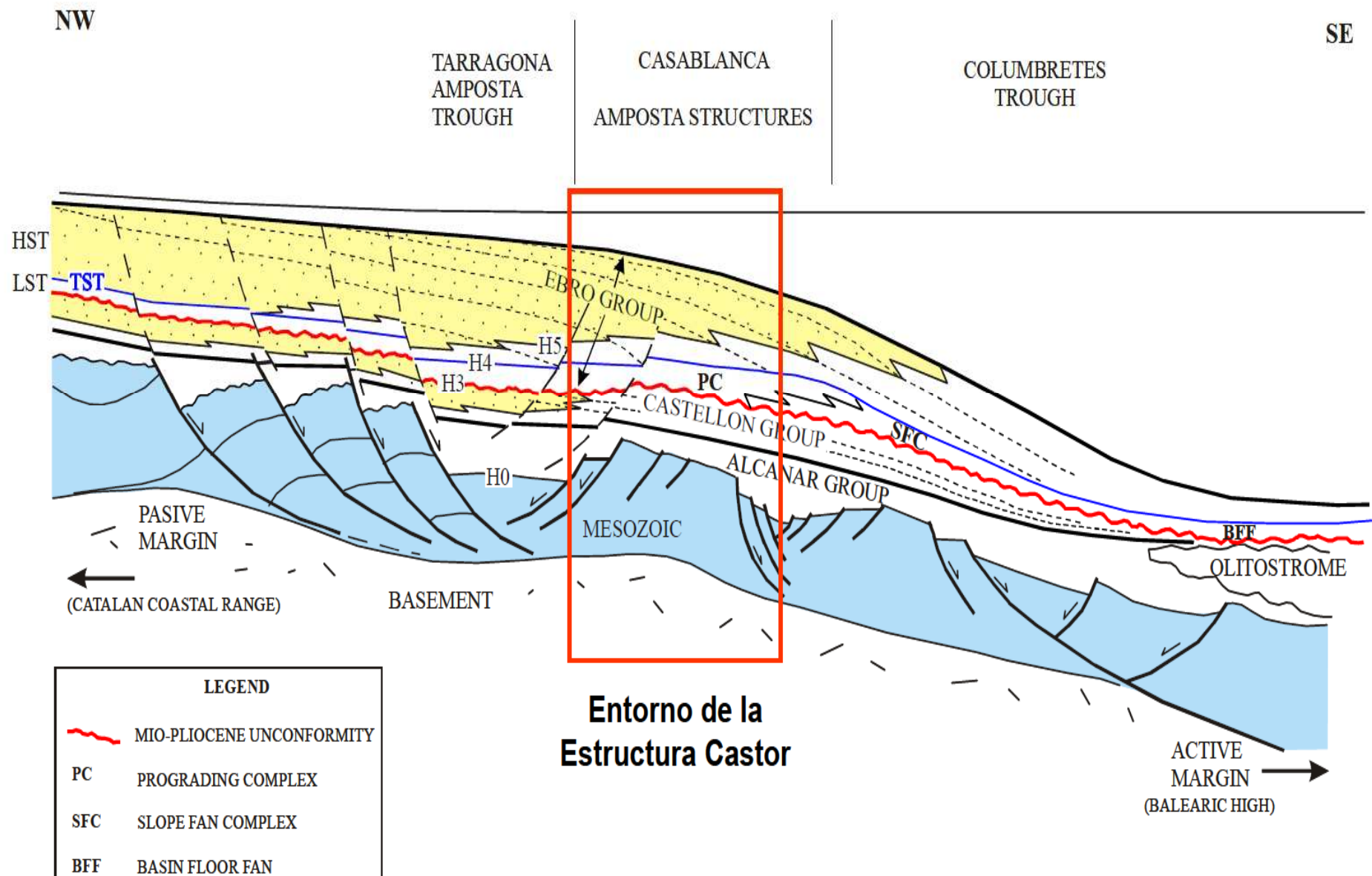


Line:  
Trace:

1900.0 2300.0 2700.0 3100.0 3500.0 3900.0 4300.0 4700.0  
4528.0 4528.0 4528.0 4528.0 4528.0 4528.0 4528.0 4528.0







# **Amposta Oil Field**

U. SEEMANN, V. F. PÜMPIN, and N. CASSON  
Shell España  
Madrid, Spain

## **FIELD CLASSIFICATION**

BASIN: Western Mediterranean

BASIN TYPE: Backarc

RESERVOIR ROCK TYPE: Limestone (Karst)

RESERVOIR ENVIRONMENT OF  
DEPOSITION: Platform

RESERVOIR AGE: Early Cretaceous

PETROLEUM TYPE: Oil

TRAP TYPE: Tilted Horst

TRAP DESCRIPTION: Elongated Tilted  
Horst Block

**Treatise of Petroleum Geology**

**Atlas of Oil and Gas Fields**

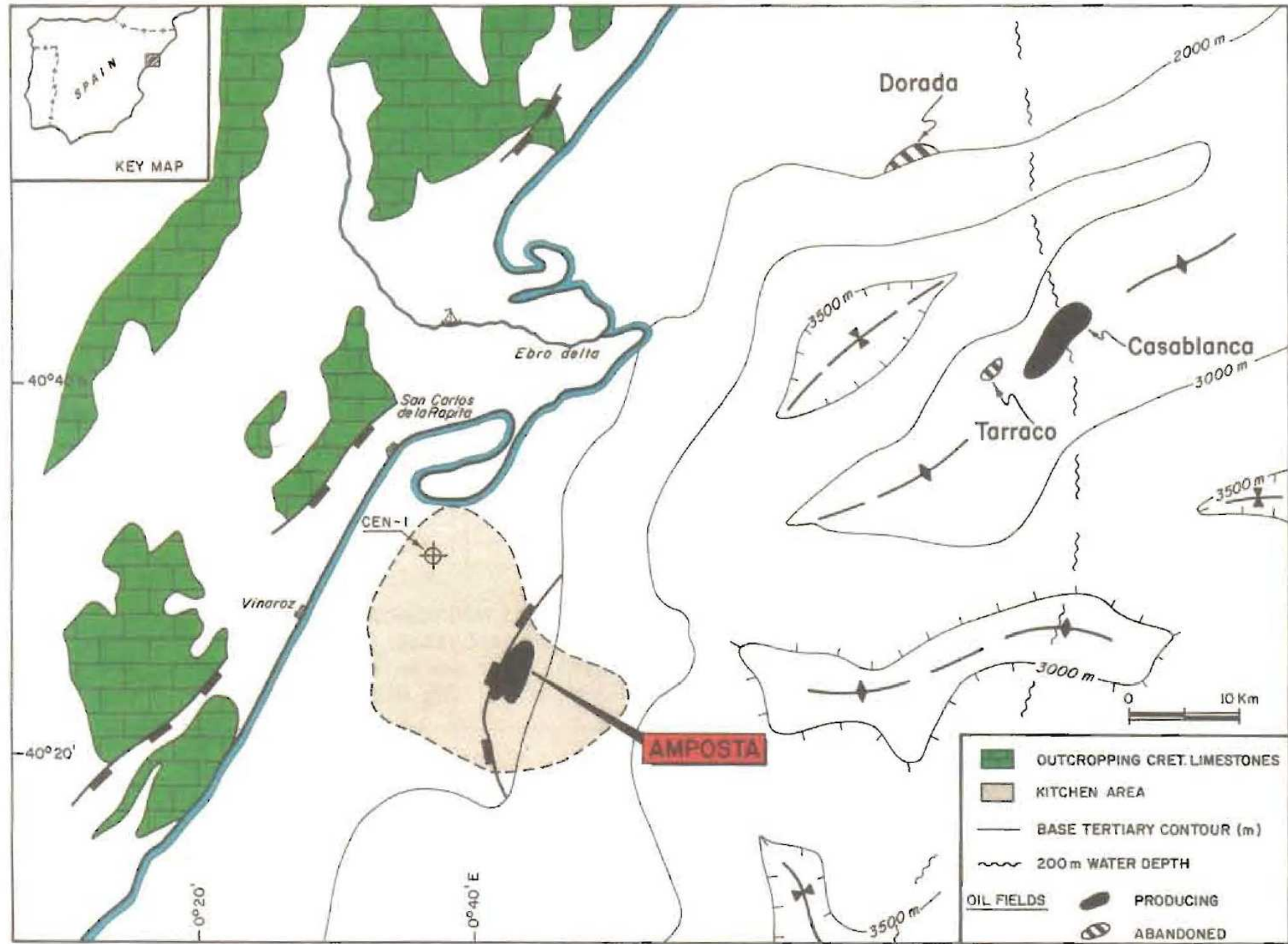
**Structural Traps II**

**Traps Associated with Tectonic Faulting**

**Compiled by E. A. Beaumont & N. H. Foster**

**Published by the American Association of Petroleum Geologists, 1990**

**Tulsa, Oklahoma**



1983

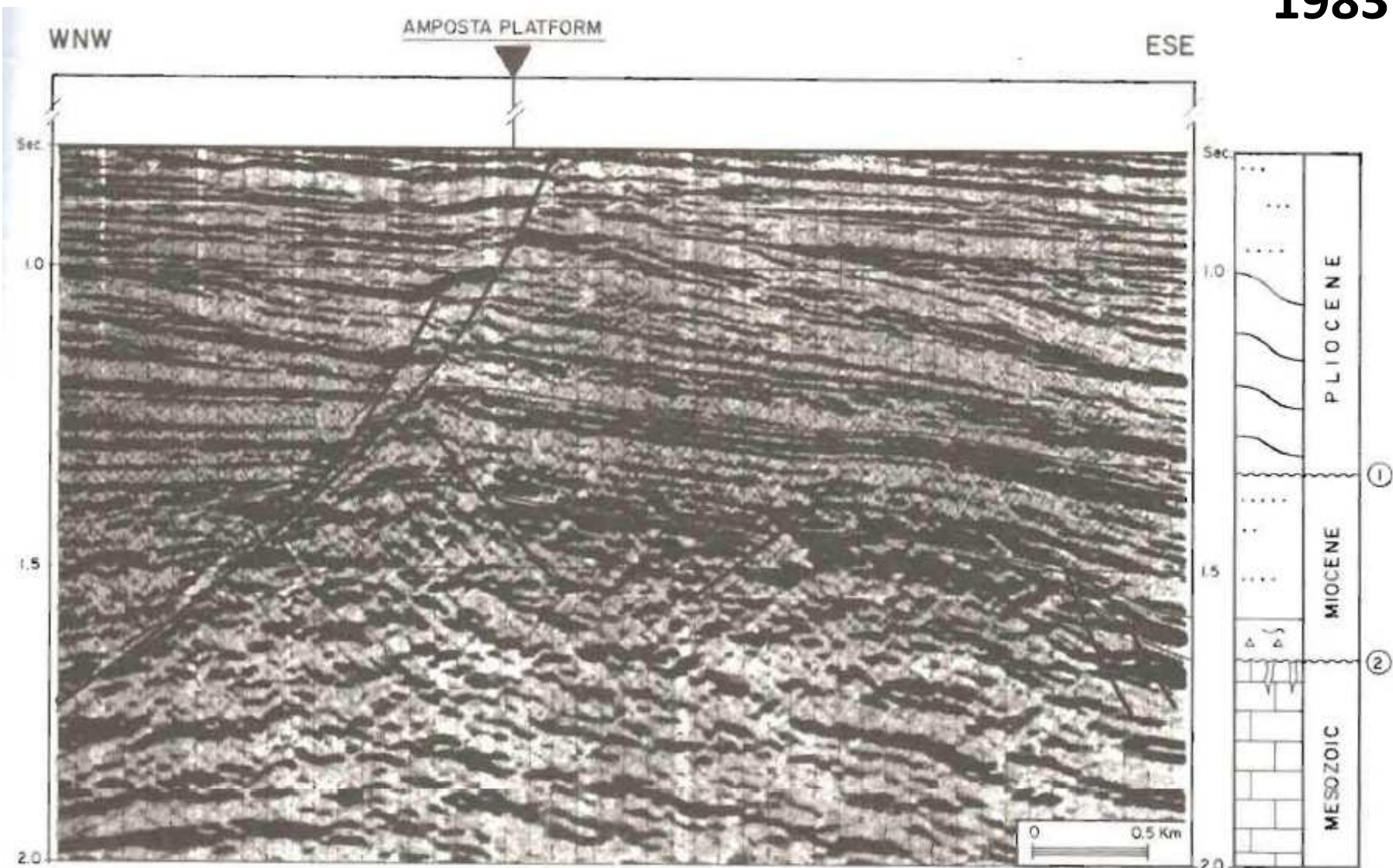
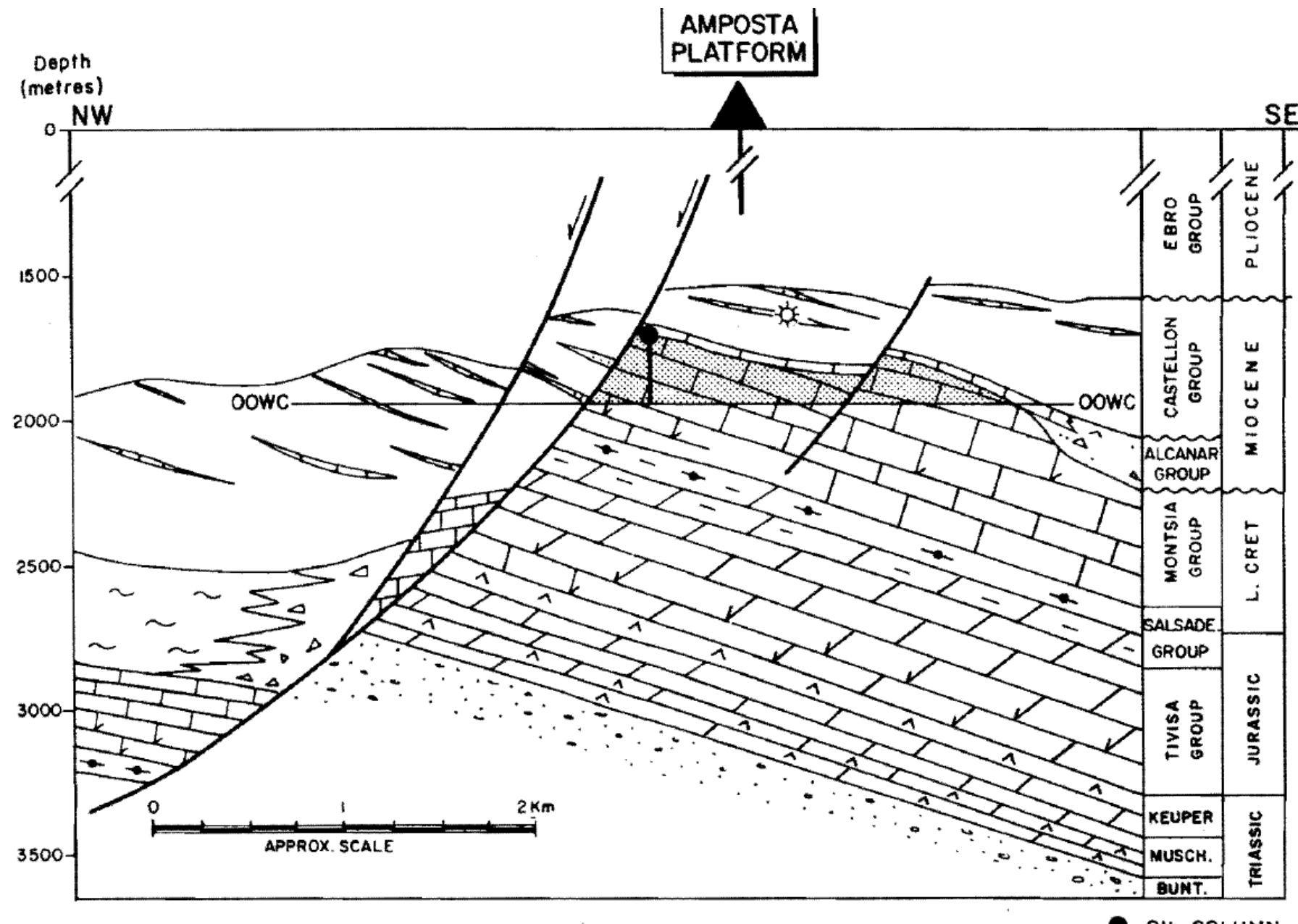


Figure 8b. Line 217 (1983 3-D vintage; dip line).

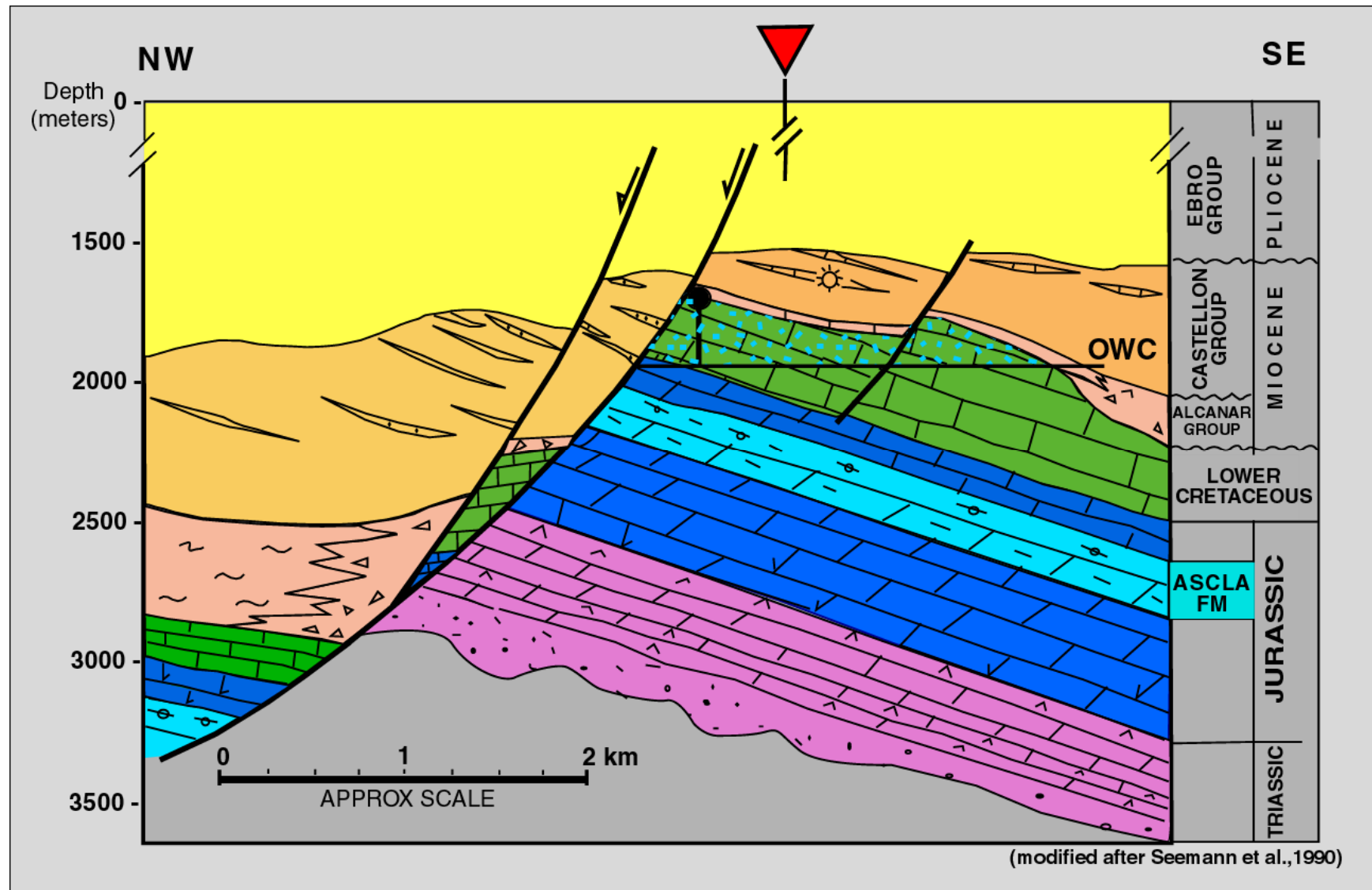
(1) MESSINIAN

(2) OBJECTIVE

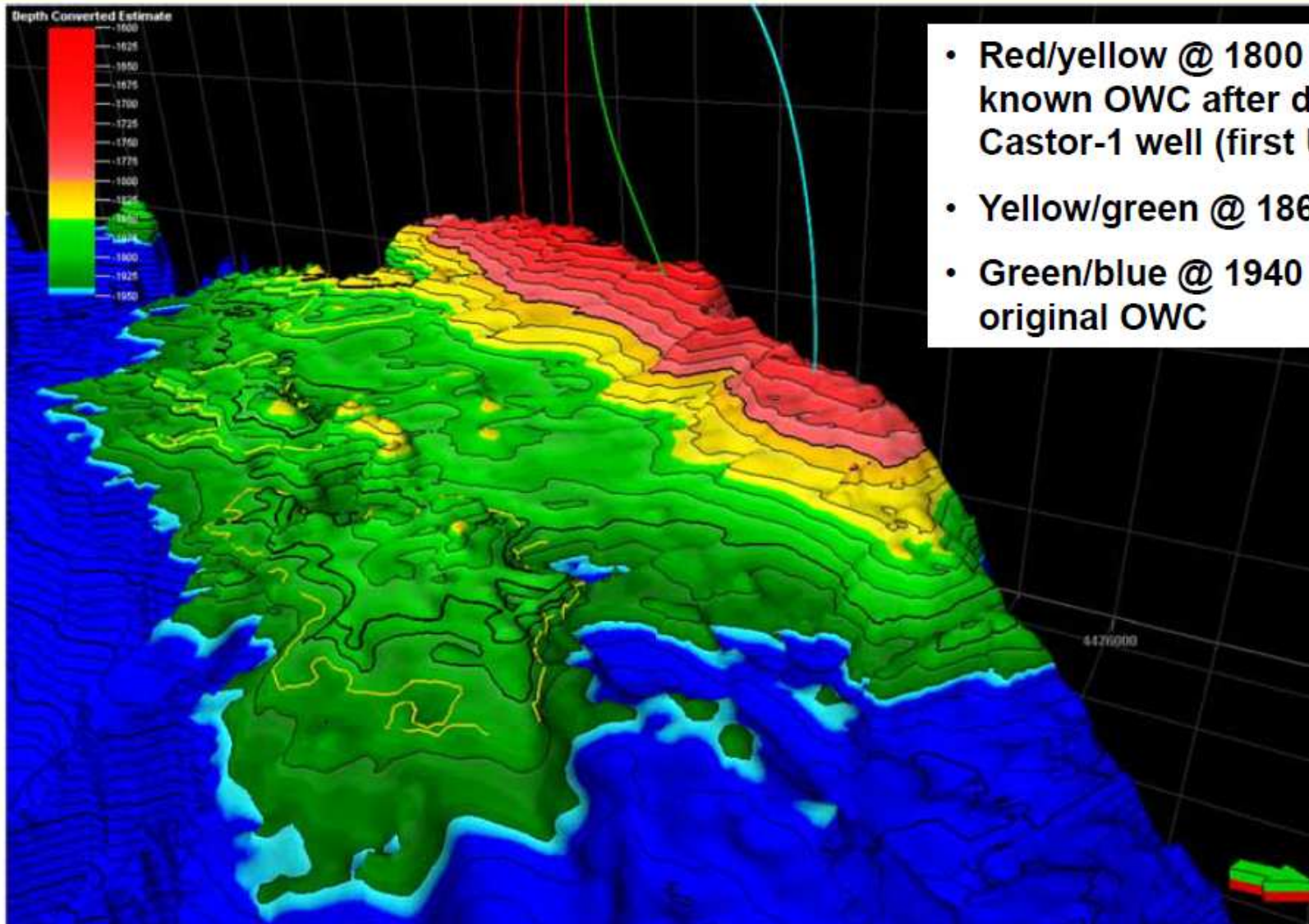


**Figure 10.** Geologic cross section over Amposta field culmination (sketch).

# Trampa combinada: estructural por falla + estratigráfica (paleo-relieve bajo discordancia) Estructura 3D compleja

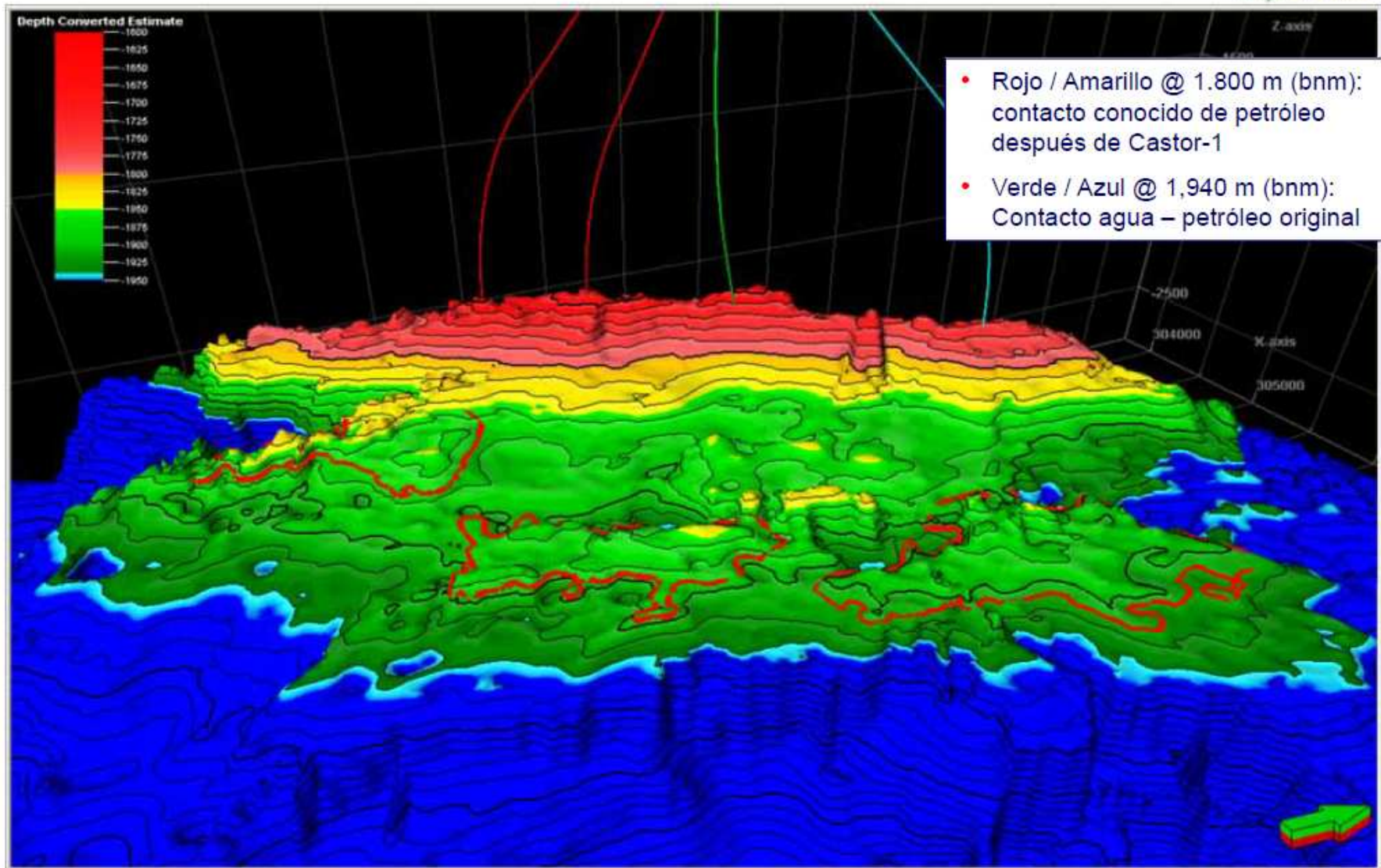


# Una visión 3D del almacén

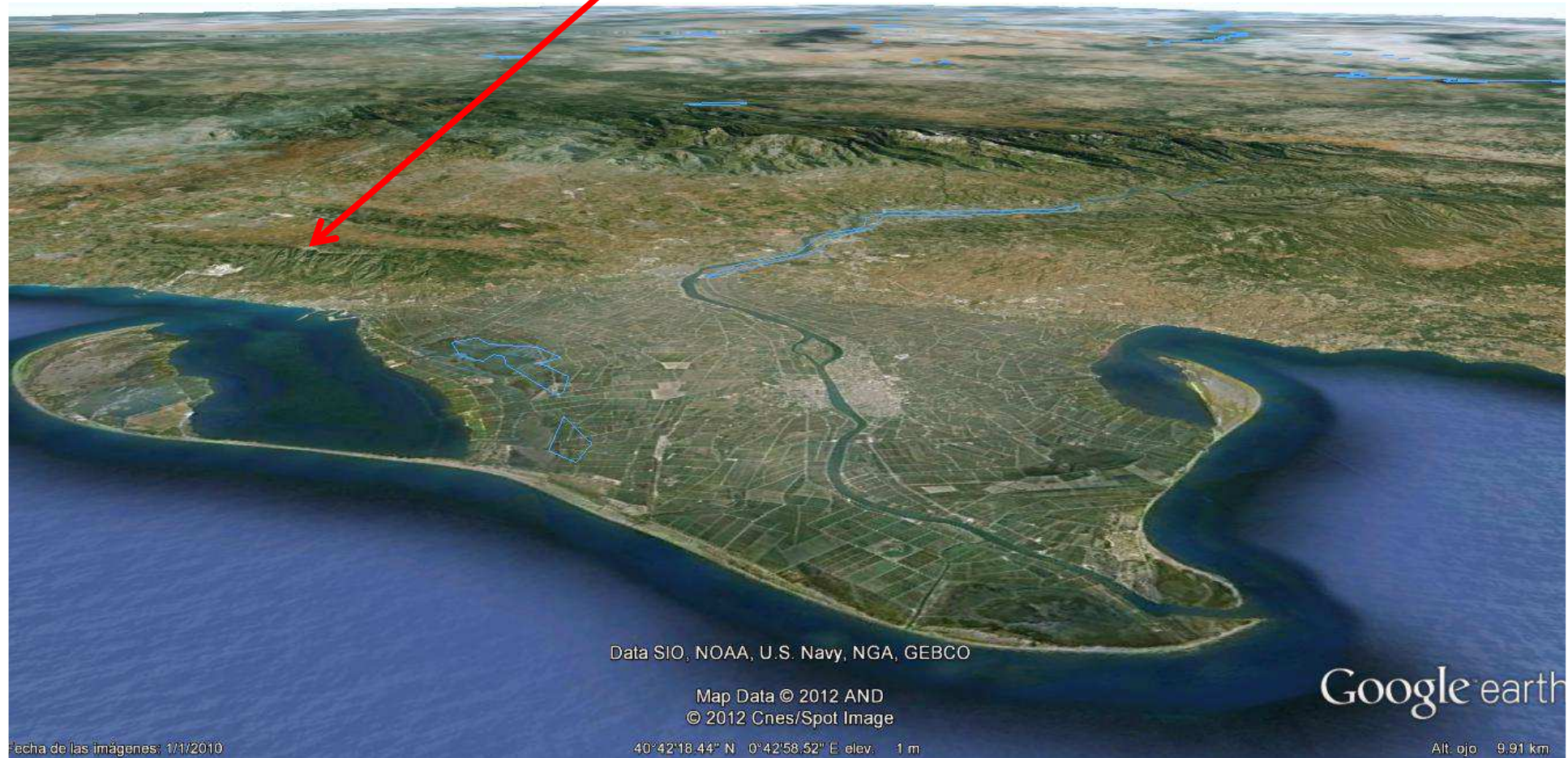


- Red/yellow @ 1800 m (bmsl): known OWC after drilling Castor-1 well (first UGS well)
- Yellow/green @ 1860 m (bmsl)
- Green/blue @ 1940 m (bmsl): original OWC

Proyecto Castor



# Un Montsià sumergido y sellado



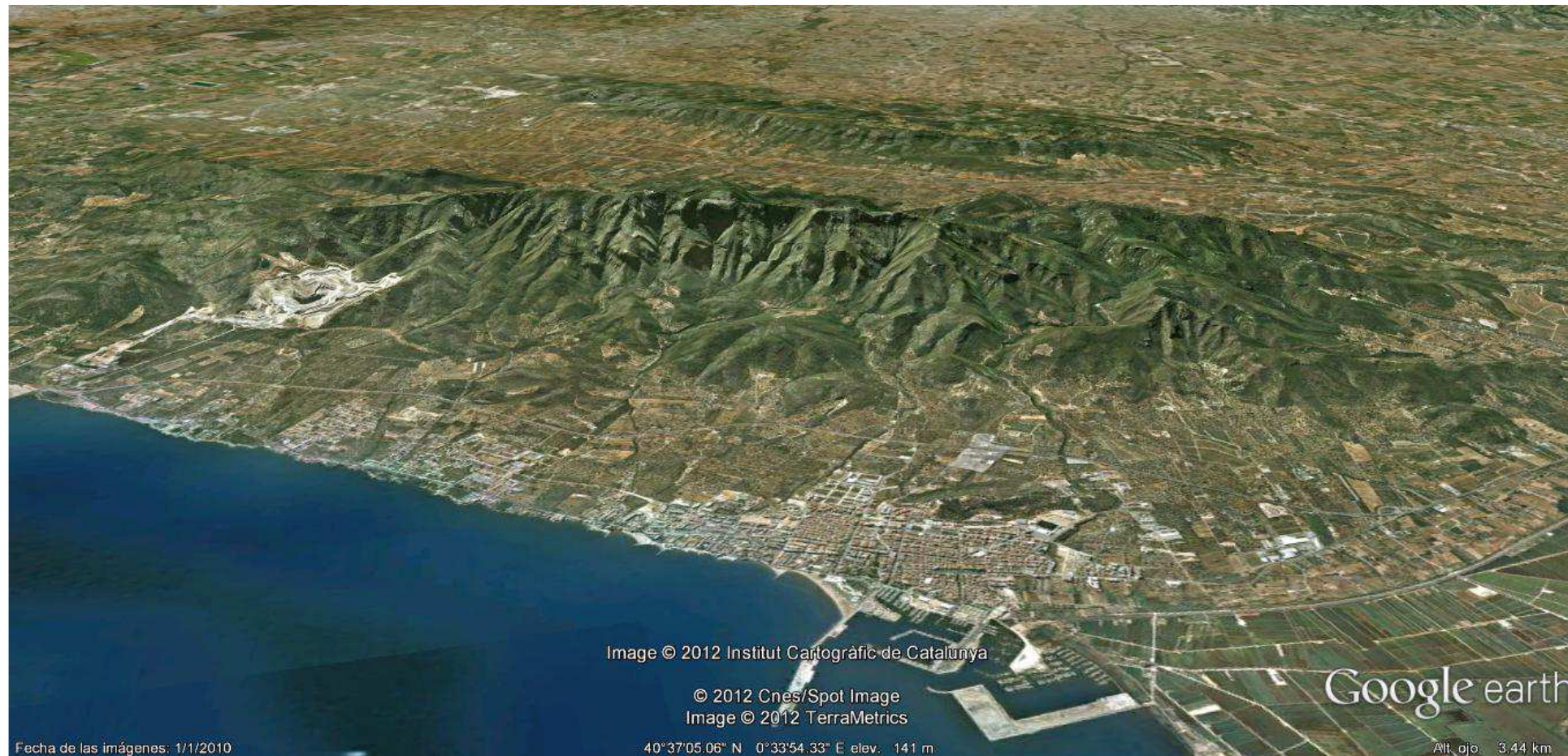


Image © 2012 Institut Cartogràfic de Catalunya

© 2012 Cnes/Spot Image  
Image © 2012 TerraMetrics

Fecha de las imágenes: 1/1/2010

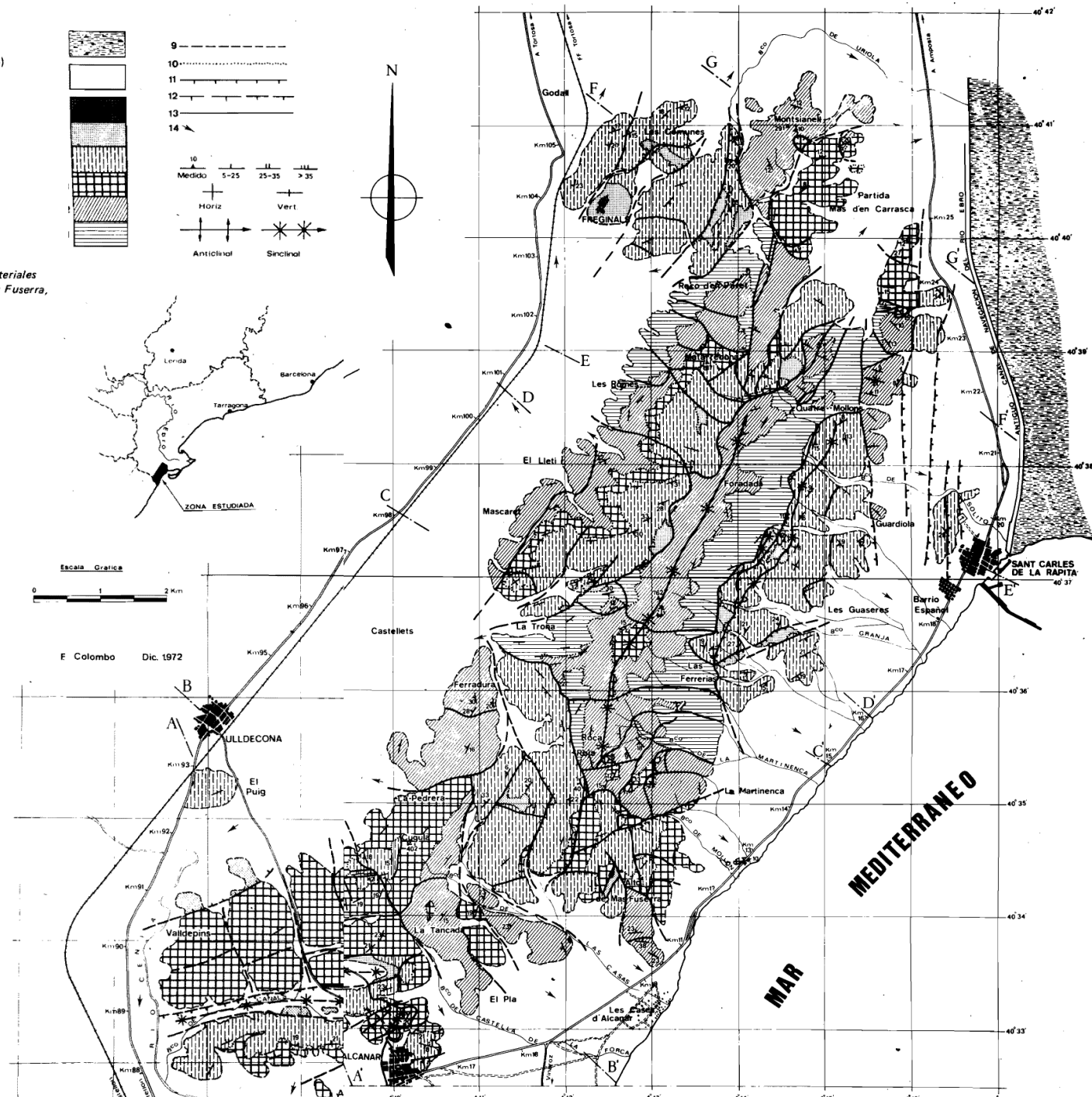
40°37'05.06" N 0°33'54.33" E elev. 141 m

Alt. ojo 3.44 km

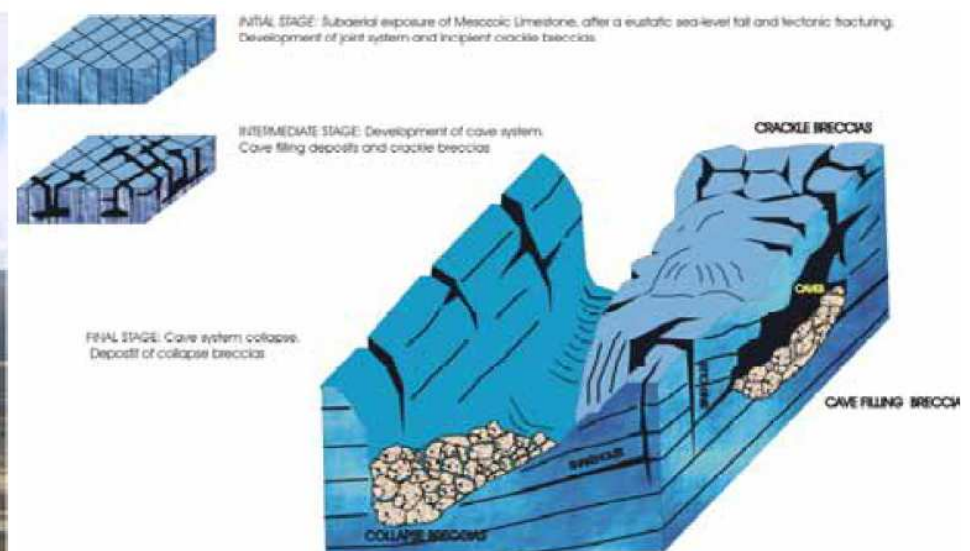
## **EXPLICACIONES ADICIONALES AL MAPA GEOLOGICO**

- 1.- Tramo dolomítico inferior (Tránsito Jurásico-Cretácico)
  - 2.- Nivel calcáreo inferior (Tramo Valanginense-Hauteriense)
  - 3.- Nivel margoso medio (Barremiense)
  - 4.- Tramo calcáreo medio (Aptiense)
  - 5.- Nivel margoso superior (Albiense)
  - 6.- Tramo dolomítico superior (Cenomaniense)
  - 7.- Cuaternario indiferenciado
  - 8.- Materiales aluviales del Delta del Ebro
  - 9.- Contacto discordante
  - 10.- Contacto concordante
  - 11.- Falla vista con sentido del último movimiento
  - 12.- Falla deducida
  - 13.- Fractura o contacto mecánico
  - 14.- Sentido de pendiente

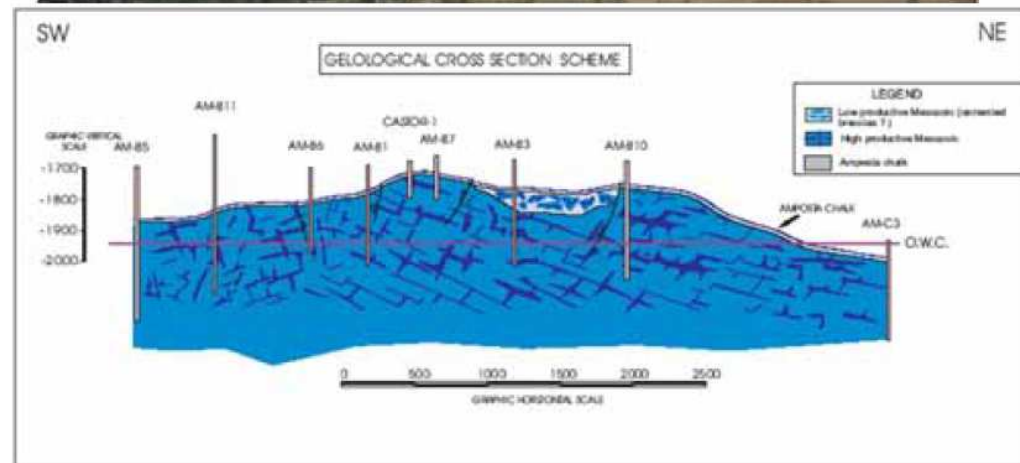
**NOTA** — Para mayor claridad del dibujo, el afloramiento de materiales del Cenomaniano, situado en las inmediaciones del Alto de Mas Fuserra, se ha representado como una mancha negra.



# Almocín:



## FASES DEL KARST MEDITERRÁNEO

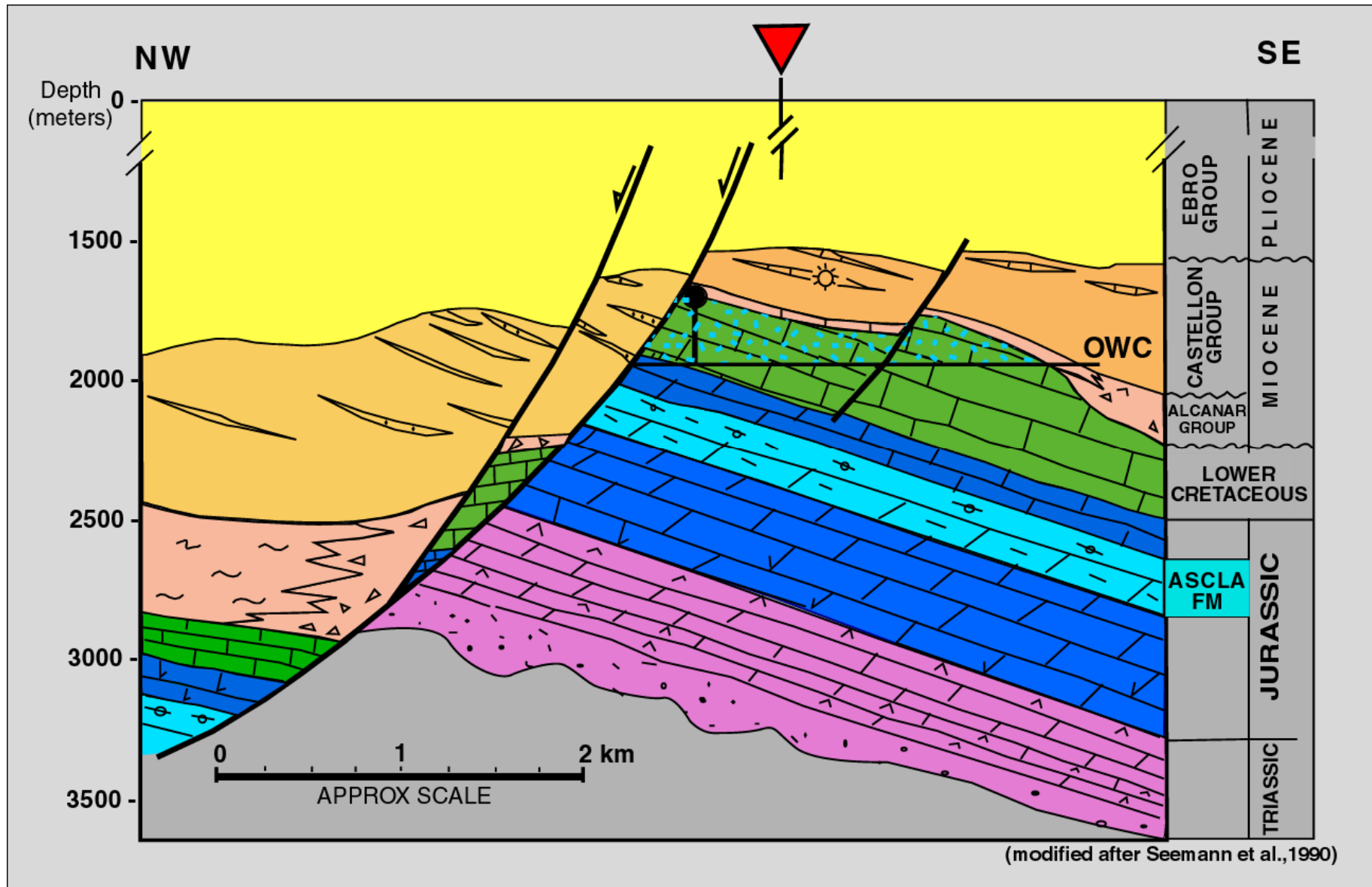


**INICIAL:** Exposición subaérea de las calizas mesozoicas tras un descenso eustático de nivel del mar y fracturación tectónica. Desarrollo de un sistema de discontinuidades y de brechas incipientes de fragmentación.

**INTERMEDIA:** Desarrollo de un sistema de cavidades. Depósitos de relleno de las cavidades y brechas de fragmentación.

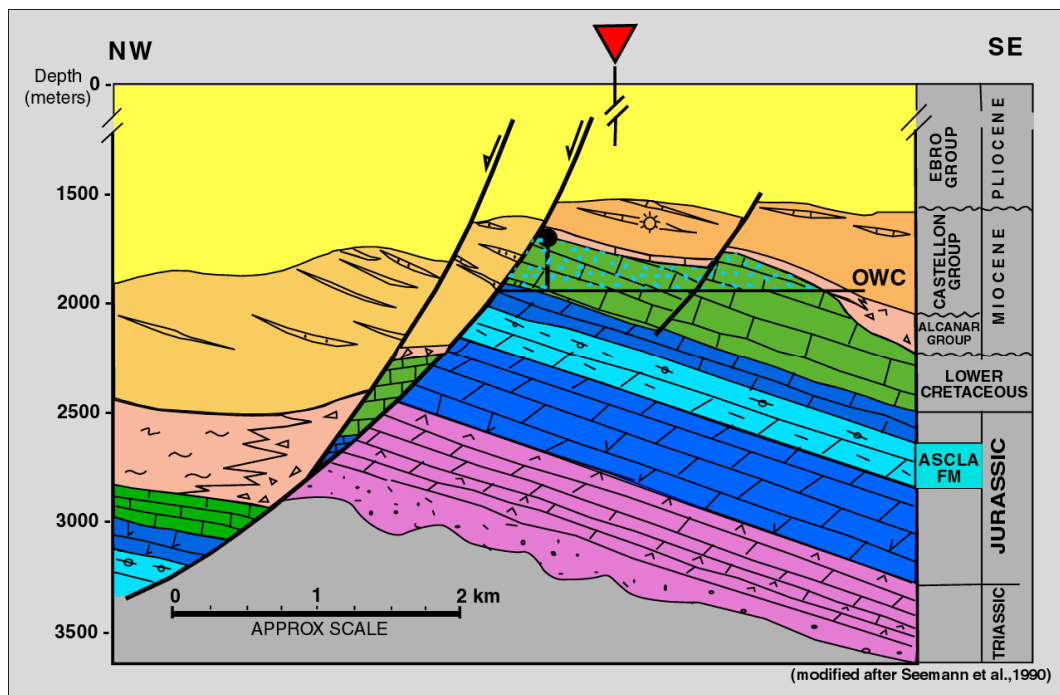
**FINAL:** Colapso del sistema de cavidades. Formación de brechas de colapso.

# ¿Que sabemos sobre la estanqueidad del almacén? La problemática de las fallas (de momento todo OK)



# Estructura y estratigrafía del Castor.

## Sello e integridad del sello



PERÍODO O ÉPOCA NORTEAMERICANOS	PERÍODO O ÉPOCA EUROPEOS	ESTRATIGRAFÍA DE ROCA BLOQUE HORST	DISCORDANCIA PRINCIPAL	LITOGÉIA DOMINANTE BLOQUE HORST
CUATERNARIO	CUATERNARIO	GRUPO EBRO	FORMACIÓN ARENISCA EBRO	
	PLIOCENO		FORMACIÓN ARCILLA EBRO	
	ZANCLEENSE			
	TORTONENSE	GRUPO CASTELLÓN	FORMACIÓN ARENISCA CASTELLÓN	
	SERRAVALLIENSE		FORMACIÓN LUTITA CASTELLÓN	
MIOCENO MEDIO	INFERIOR	GRUPO ALCANAR	SALOU	
	LANGHIENSE		SAN CARLOS	
	BURDIGALIENSE		CALIZA DE AMPOSTA	
PALEÓGENO	PALEÓGENO		AUSENTE	
	CRÉTACICO INFERIOR	GRUPO MONTSIÀ		INTERVALO DE ALMACÉN KÁRSTICO DEL CAMPO DE AMPOSTA (VALANGINIENSE-APTIANO)
	CRÉTACICO INFERIOR	GRUPO SALSADELLA		
JURÁSICO	JURÁSICO	GRUPO TIVISA		INTERVALO DE ROCA PRODUCTIVA DEL CRUDO DE AMPOSTA
TRIÁSICO	TRIÁSICO	KEUPER		
		MUSCHELKALK		
		BUNTSANDSTEIN		
PÉRMICO	PÉRMICO			
PZ	PZ			

DISCORDANCIA INTRA-MESSINIENSE

INTERVALO DE ALMACÉN KÁRSTICO DEL CAMPO DE AMPOSTA (VALANGINIENSE-APTIANO)

INTERVALO DE ROCA PRODUCTIVA DEL CRUDO DE AMPOSTA

EPIGRAFE:



[Inici](#) > [Terratrèmols](#) > [Informació tècnica](#) > [Seguiment de crisis sísmiques](#) > Costa de Castelló - Tarragona, 2013

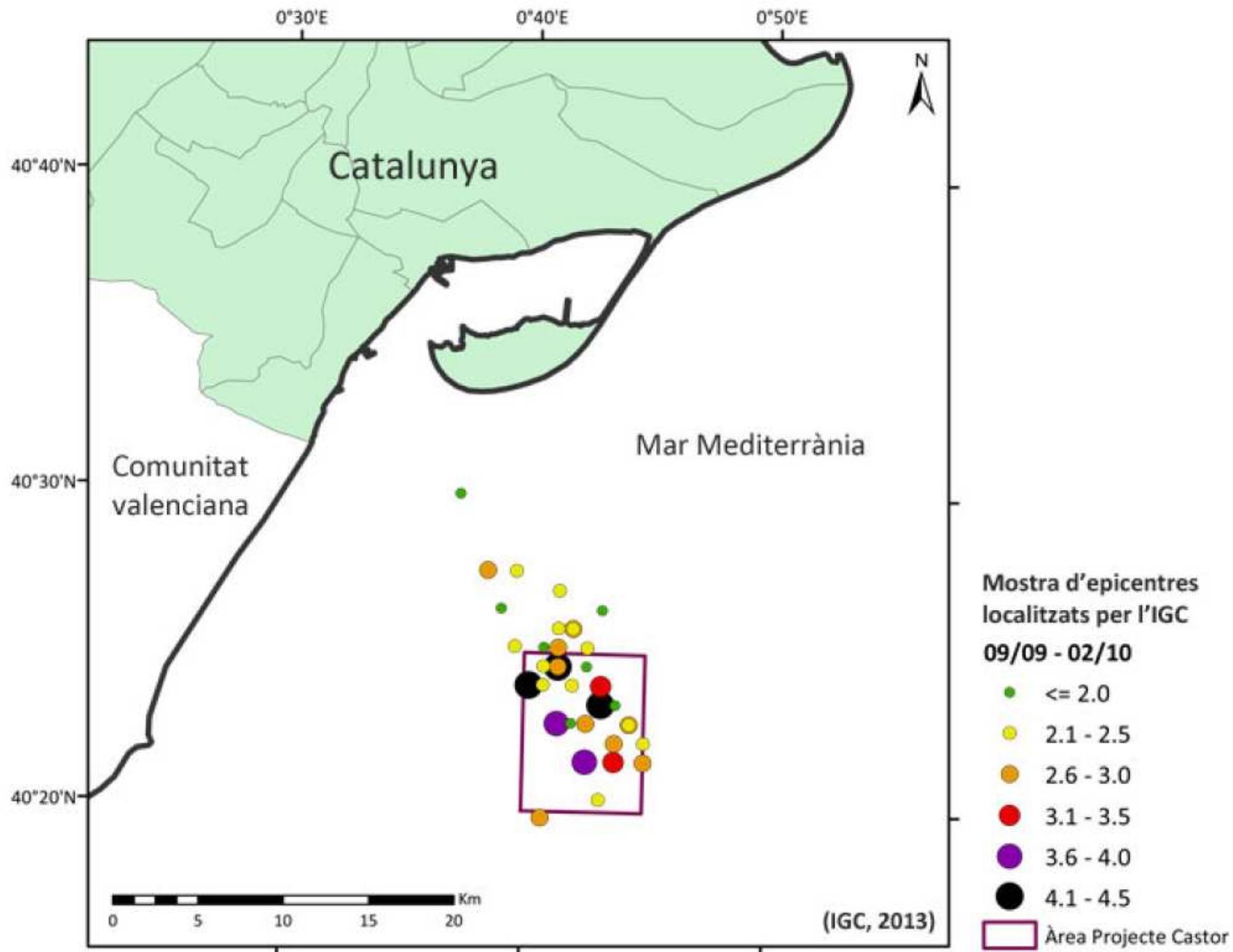
## Seguiment de la crisi sísmica de la costa de Castelló - Tarragona, 2013

### Nota sobre l'activitat sísmica davant la costa de Castelló - Tarragona de 2013

IGC - 4 d'Octubre de 2013

El 8/09/2013 va començar una seqüència de terratrèmols que tenen l'hipocentre al Sud del delta de l'Ebre davant la costa de Castelló-Tarragona. L'activitat sísmica ha continuat durant tot el mes de setembre i segueix actualment.

Aquesta activitat sísmica s'ha enregistrat a les estacions de la Xarxa sísmica de Catalunya, i tots els enregistraments son guardats a la base de dades de l'IGC. Els hypocentres localitzats dels sismes son publicats al web de l'IGC. El mapa amb la seva posició geogràfica es representa a la Figura 1. Les profunditats calculades i publicades tenen una grau d'incertesa molt gran atès la distribució geomètrica dels sismòmetres existents a la zona propera a la zona d'activitat sísmica.



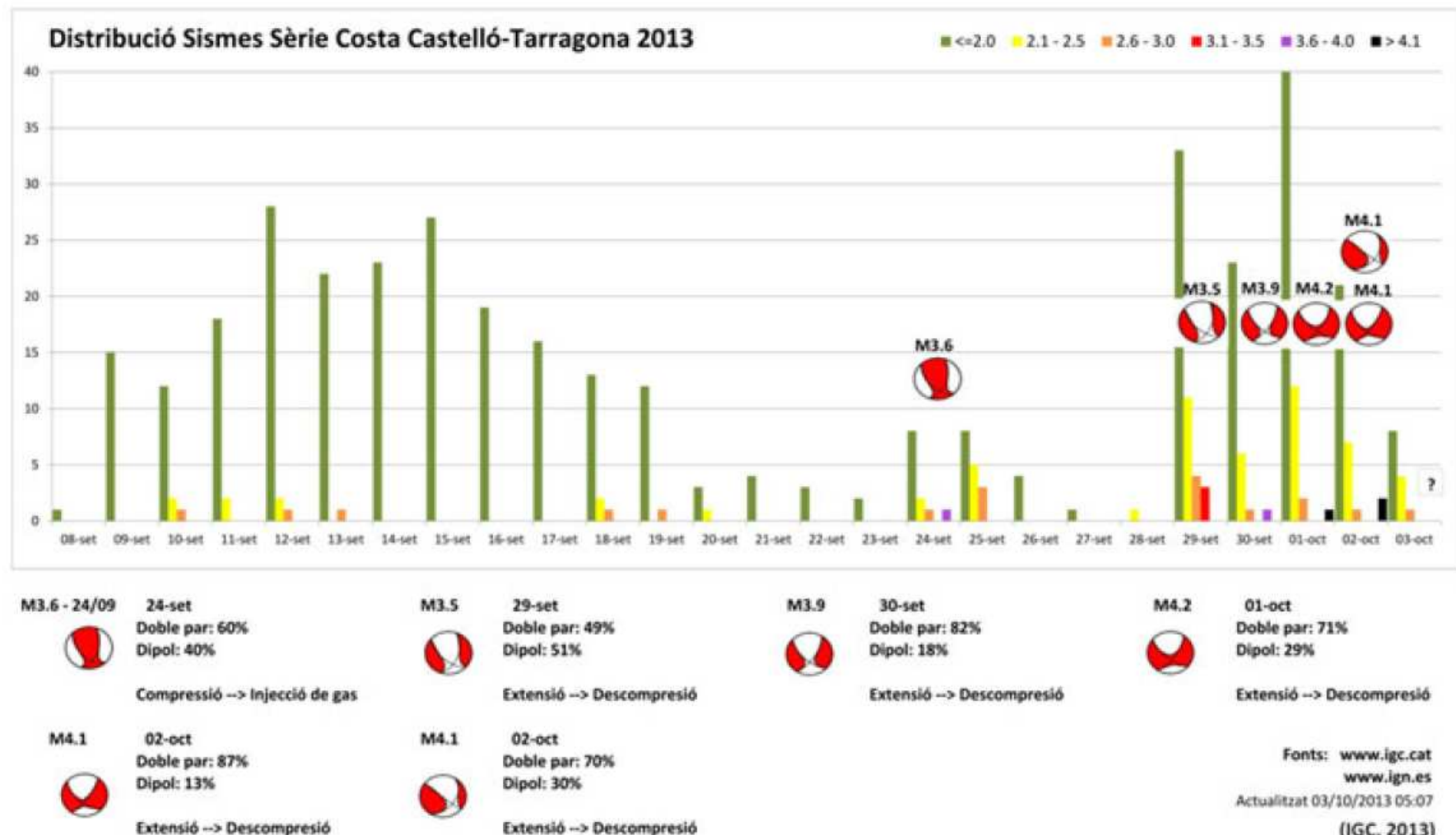


Figura 2. Histograma del nombre de sismes diari per magnituds i mecanismes focals

ISSN (print): 1698-6180. ISSN (online): 1886-7995  
[www.ucm.es/info/estratig/journal.htm](http://www.ucm.es/info/estratig/journal.htm)

*Journal of Iberian Geology* 38 (1) 2012: 31-52  
[http://dx.doi.org/10.5209/rev\\_JIGE.2012.v38.n1.39204](http://dx.doi.org/10.5209/rev_JIGE.2012.v38.n1.39204)



## An active zone characterized by slow normal faults, the northwestern margin of the València trough (NE Iberia): a review

Una zona activa caracterizada por fallas normales lentas, el margen noroccidental del surco de Valencia (NE Iberia): una revisión

H. Perea<sup>1\*</sup>, E. Masana<sup>2</sup>, P. Santanach<sup>2</sup>

<sup>1</sup>LATTEX – IDL, Fac. Ciências Universidade de Lisboa, Ed.C6, Campo Grande 1749-016 Lisboa, Portugal

<sup>2</sup>Dept. Geodinàmica i Geofísica, Universitat de Barcelona, Martí Franqués, s/n, 08028 Barcelona, Spain

\*corresponding author: e-mail: [hperea@utm.csic.es](mailto:hperea@utm.csic.es); phone: (+34) 932309500 (ext. 1514)

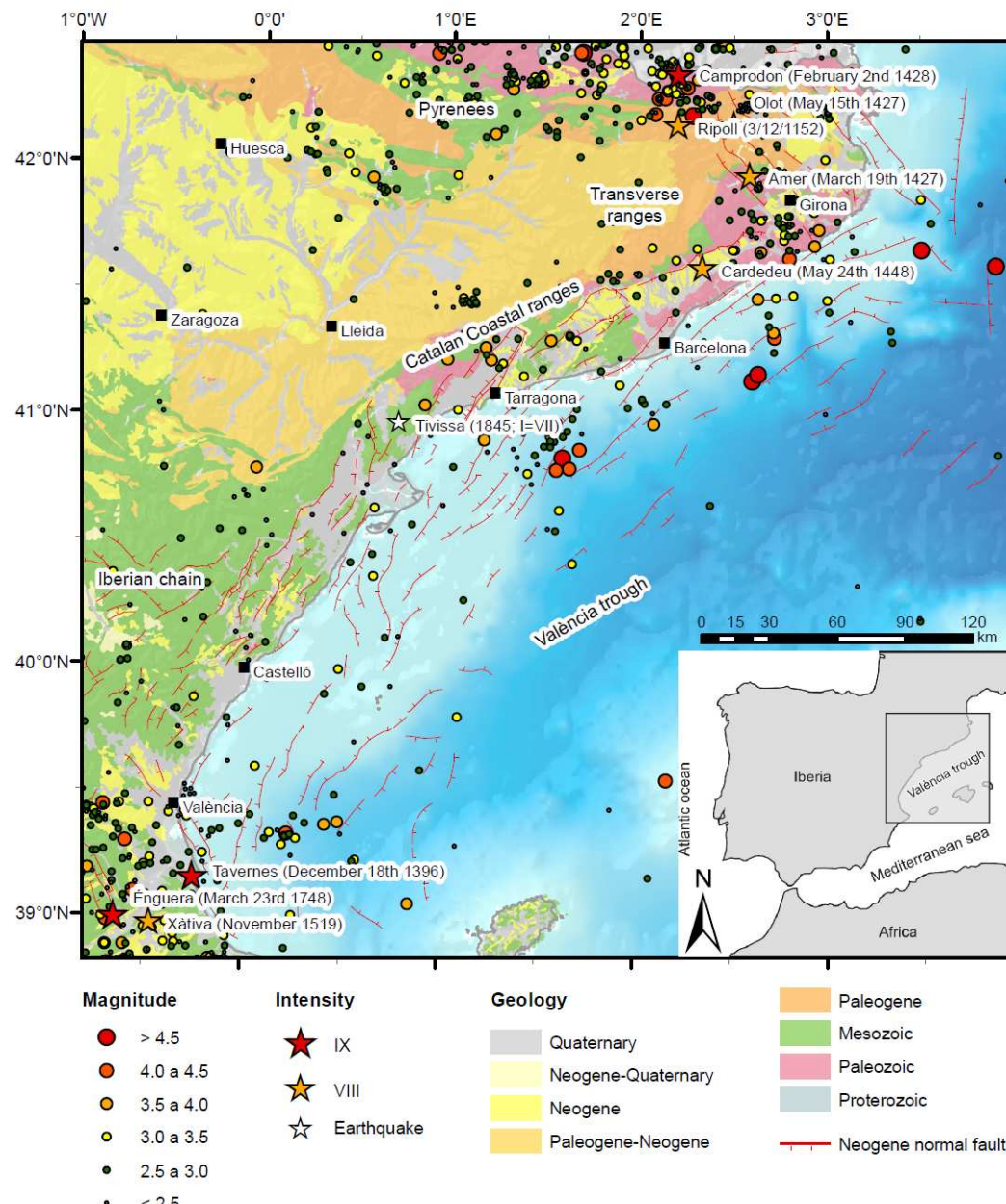
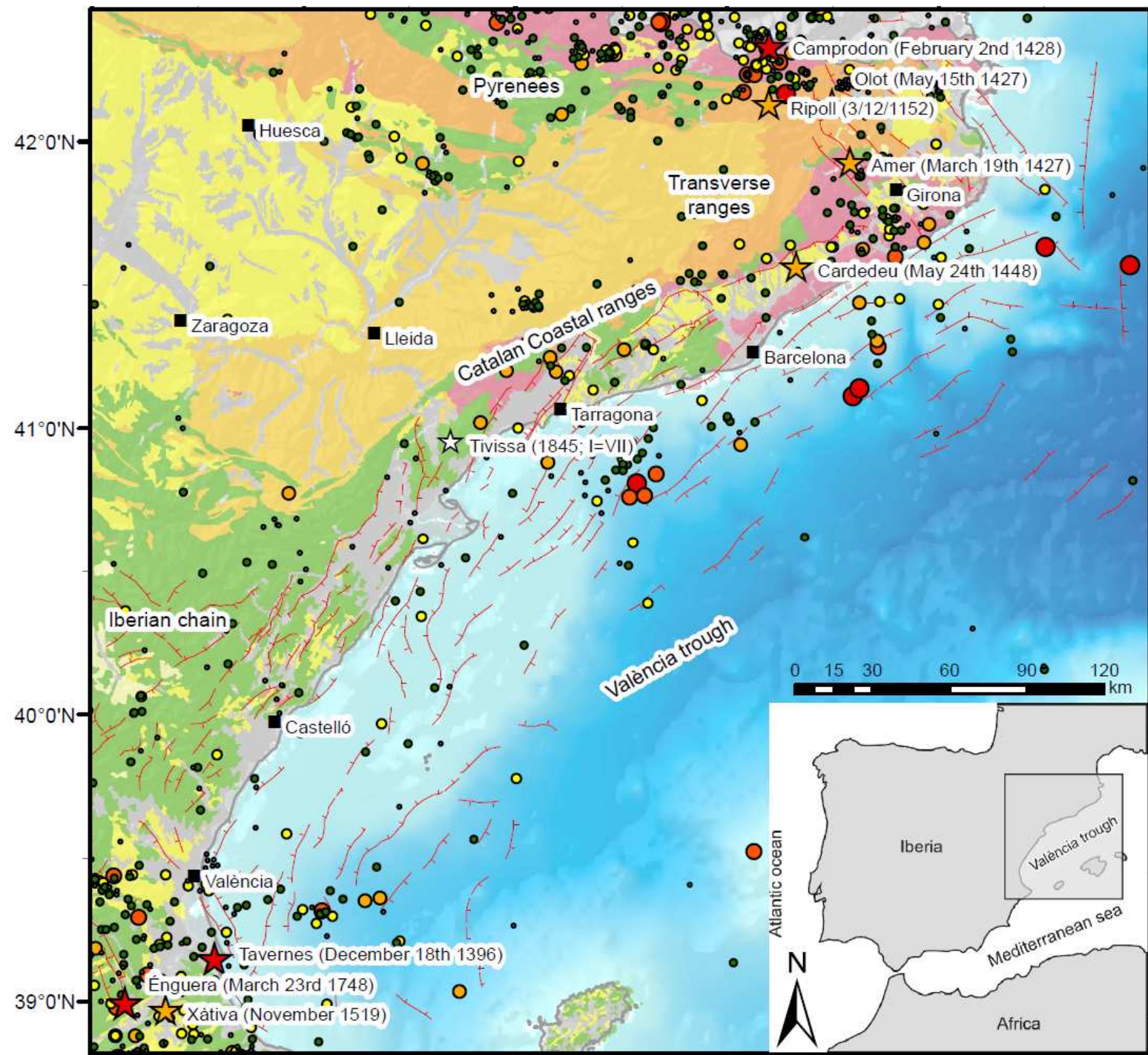


Fig. 1.- Simplified geological map of the northeastern Iberian Peninsula (modified from IGME, 1994), showing the position of the Neogene normal faults (Roca, 1992; Roca and Guimerà, 1992) and the historical earthquakes with intensity equal to and higher than VIII. Instrumental seismicity reported by the Instituto Geográfico Nacional earthquake catalog.



Fault	Segment	Fault length (km)	Segment length (km)	Fault max. magnitude (Mw)	Segment max. magnitude (Mw)	Fault slip rate (mm/yr)	Segment slip rate (mm/yr)	Fault recurrence interval (years)	Segment recurrence interval (years)
1. Gulf of Roses		76.0		7.3		0.03-0.07		99976-39990	
2. Amer	Northern	35.4	19.3	6.9	6.6	0.06-0.14	0.06-0.14	27910-11164	18146-7258
	Southern		16.1		6.5		0.05-0.11		18796-7518
3. Montseny		23.1		6.7		0.04-0.11		26275-10510	
4. Pla de Barcelona		25.0		6.7		0.02-0.04		72494-28997	
5. El Camp	Vilavella	41.1	13.9	7.0	6.4	0.02-0.06	0.02-0.05	77767-31107	38672-15469
	La Selva		9.7		6.2		0.02-0.06		20766-8307
	Hospitalet *		17.5		6.5		0.02-0.08		50000-25000
6. Pla de Burgar		14.2		6.4		0.02-0.05		37729-15091	
7. Baix Ebre	Xalamera-Cunca	80.0	11.0	7.4	6.2	0.06-0.15	0.06-0.15	63620-25448	7345-2938
	Caramella		21.9		6.6		0.03-0.08		27485-10994
	Sénia north		10.9		6.2		0.02-0.05		22151-8860
	Sénia south		10.9		6.2		0.03-0.07		15822-6329
	Tirig north		11.5		6.3		0.03-0.07		22012-8805
	Tirig south		8.6		6.1		0.04-0.11		9041-3617
8. Montsià		11.0		6.2		0.03-0.09		14216-5686	
9. Western Amposta basin		18.0		6.5		0.01-0.03		72084-28833	
10. Central Amposta basin		35.0		6.9		0.01-0.03		135946-54378	
11. Eastern Amposta basin		51.0		7.1		0.04-0.10		55063-22025	

